



## مدل‌های حیوانی القای دیابت نوع ۱ در جوندگان: یک مطالعه مروری

علیرضا لطفی<sup>۱</sup>، مظفر خزاعی<sup>۲\*</sup>

- ۱- دانشجوی دکترای تخصصی علوم تشریحی- کمیته تحقیقات دانشجویی- دانشگاه علوم پزشکی کرمانشاه- کرمانشاه- ایران.  
۲- استاد علوم تشریحی- مرکز تحقیقات باروری و ناباروری- پژوهشکده فناوری سلامت- دانشگاه علوم پزشکی کرمانشاه- کرمانشاه- ایران.

تاریخ دریافت: ۱۴۰۰/۰۶/۲۴، تاریخ پذیرش: ۱۴۰۰/۰۴/۱۶

### چکیده

**مقدمه:** دیابت یک بیماری متابولیک مزمن با شیوع بالا است که با هیبرگلیسمی ناشی از کمبود نسبی با فقدان انسولین، مشخص می‌گردد. دیابت نوع ۱ (تخربیب سلول‌های بتا) و دیابت نوع ۲ (مقاومت در برابر انسولین و فقدان عملکرد جیرانی سلول‌های بتا) دو نوع اصلی دیابت می‌باشد. مدل‌های حیوانی دیابت به عنوان ابزار مهمی در بررسی این بیماری، کمک می‌کند تا از مطالعات چالش برانگیز غیراخلاقی و هزینه بزرگ در نمونه‌های انسانی اجتناب گردد. لذا هدف مطالعه مروری حاضر، بررسی انواع مدل‌های حیوانی القایی و خودبخودی دیابت نوع ۱ در جوندگان است.

**مواد و روش‌ها:** در این مطالعه مروری سیستماتیک، با کلید واژه‌های دیابت، القاء و مدل حیوانی در سال‌های ۱۹۹۱ تا ۲۰۲۱ در پایگاه‌های PubMed و Scopus و موتور Google scholar جست‌وجو انجام شد. مقالات مربوط به موضوع مطالعه، انتخاب و بررسی شدند.

**نتایج:** از نیمه قرن بیستم تا امروز، مدل‌های جدیدی برای درمان و پیشگیری از دیابت در شرایط درون بدن و آزمایشگاهی معرفی شده‌اند. برای القای دیابت نوع ۱ مدل‌های متنوعی وجود دارد که هر یک دارای نقاط ضعف و قوت هستند. این مدل‌ها شامل مدل‌های خودبخودی، دستکاری ژنتیکی و القاء شیمیایی هستند. به طور معمول، یکی از روش‌های القاء دیابت در حیوانات، استفاده از مواد شیمیایی به ویژه استریتوزوتوسین و آلوکسان است و حیوانات مورد استفاده عمده‌ای جوندگان (موش صحرایی و موش) و به میزان کمتر گربه، سگ، خوک و پریمات‌ها هستند.

**نتیجه‌گیری:** بر اساس نتایج مطالعه، هنوز مدل حیوانی استاندارد و کاملی وجود ندارد و راه طولانی تا رسیدن به یک مدل جامع از پاتوزنر و عوارض دیابت وجود دارد لذا توسعه این مدل‌ها ضروری می‌باشد. با توجه به اهمیت مطالعات دیابت، لازم است که انتخاب مدل حیوانی مناسب هر مطالعه با دقت انجام شود.

**واژه‌های کلیدی:** دیابت، استریتوزوتوسین، آلوکسان، مدل حیوانی.

**Email:** کرمانشاه، بلوار شهید شیروodi، خیابان دانشگاه، دانشکده پزشکی، مرکز تحقیقات باروری و ناباروری، تلفن: ۰۸۳۳۴۲۷۴۶۱۸، نمبر: ۰۸۳۳۴۲۸۱۵۶۳  
\*نویسنده مسئول: Mkhazaei1345@yahoo.com

**ارجاع:** لطفی علیرضا، خراعی مظفر. مدل‌های حیوانی القای دیابت نوع ۱ در جوندگان: یک مطالعه مروری. مجله دانش و تدرستی در علوم پایه پزشکی ۱۴۰۰:۲۸-۴۸.

## مقدمه

مروری حاضر، بررسی روش‌های القاء دیابت نوع ۱ و به طور خاص تأکید بر روش‌های شیمیایی است.

### مواد و روش‌ها

در این مطالعه مروری استراتژی جستجوی بر مبنای PRISMA در پایگاه داده‌های الکترونیکی شامل PubMed و Scopus به کار گرفته شد. مطالعات مرتبط منتشر شده با مدل‌های خودبخودی و شیمیایی دیابت نوع ۱ با آلوکسان و STZ و سایر روش‌ها طی سال‌های ۱۹۹۰ تا ۲۰۲۱، با کلید واژه‌های "مدل حیوانی"، "دیابت نوع ۱"، "استرپتوزوتوسین"، "آلوکسان" و "مدل شیمیایی" جستجوی از نظر عنوان و چکیده بررسی و پس از حذف موارد نامرتبط، مقالات نهایی انتخاب شدند (نمودار ۱).

### نتایج

دیابت در ابتداء عنوان یک نارسایی یا عدم عملکرد پانکراس شناخته می‌شد، بر همین اساس پژوهشگران این بیماری را با حذف قسمتی یا کل پانکراس مدل‌سازی می‌کردند. علاوه بر پانکراتکومی نسبی یا کامل، روش‌های غیرجراحی برای القای هیبرگلیسمی وجود دارند. پنج گروه از مواد دیابت‌زا وجود دارند: مواد شیمیایی، عوامل بیولوژیکی، potentiatorها، پیتیدها و استروئیدها (۱۱). امروزه از مدل‌های حیوانی در تحقیقات زیست‌پزشکی، مطالعات بیولوژی نرم‌اللای و بررسی آسیب‌شناسی فرآیندهای خودبخودی یا القا شده استفاده می‌گردد. در حقیقت این مدل‌ها شباهت زیادی با نمونه‌های انسانی یا حیوانات دیگر دارند. طبق تعریفی از کمیته ملی شورای تحقیقات آمریکا، مدل‌های حیوانی دیابت در پنج گروه طبقه‌بندی شدنند.

(۱) مدل‌های خودبخودی که بیماری یا شرایط موردنظر همانند انسان به صورت بی اختیار ایجاد شده است.

(۲) مدل‌های آزمایشگاهی که به روش‌های شیمیایی یا جراحی القاء می‌گردد.

(۳) مدل ژنتیکی که با دستکاری‌های ژنتیکی ایجاد می‌شود.

(۴) مدل منفی که شامل حیوانات مقاوم در برابر بیماری‌ها و شرایط خاص هستند.

(۵) مدل اورفان: مدل‌های حیوانی با بیماری‌های ناشناخته برای انسان در این گروه قرار می‌گیرند.

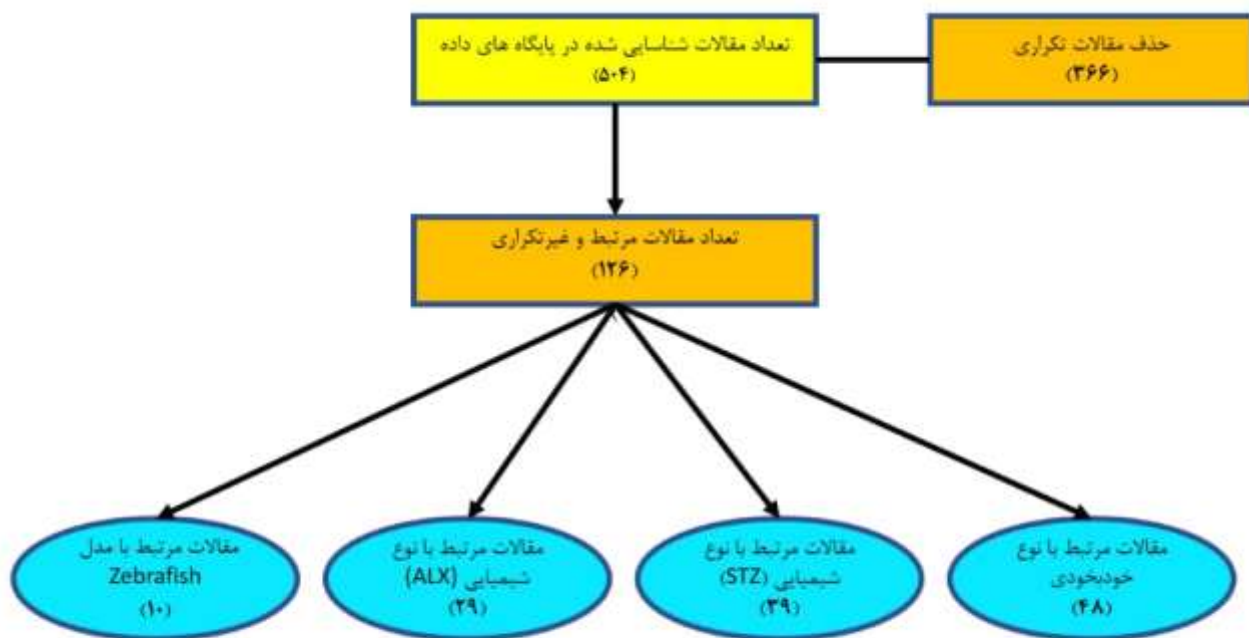
در میان مدل‌های حیوانی، جوندگان به دلیل هزینه پایین، زمان تولید مثل کوتاه، چاقی و راشی و هیبرگلیسمی مناسب‌تر هستند. مدل‌های حیوانی شناخته‌شده‌ای برای مطالعه دیابت نوع ۱ وجود دارند. توسعه مدل‌های دیابت می‌تواند به سه روش ایجاد گردد: شناسایی گونه‌هایی که به صورت خودبخودی دیابت داشته باشند، ایجاد گونه‌هایی متمایل به دیابت با استفاده از تکنیک‌های ژنتیکی و تخریب سلول‌های جزایر پانکراسی به وسیله مواد شیمیایی و روش‌های جراحی (۱۲).

دیابت یک شکل ناهمگن از اختلالات متابولیکی به دلیل نقص در ترشح و یا فعالیت انسولین است که با اختلال در متابولیسم کربوهیدرات‌ها، چربی‌ها و پروتئین‌ها و هیبرگلیسمی همراه است (۱). این بیماری در جوامع مختلف در حال گسترش است به طوریکه برآورد می‌شود که شیوع آن از ۸/۳٪ (۳۶۶ میلیون نفر) در سال ۲۰۱۱ به ۹/۹٪ (۵۲۲ میلیون نفر) در سال ۲۰۳۰ بررسد. همچین شمار افراد مبتلا در آفریقا از ۱۴/۲ میلیون نفر در سال ۲۰۱۵ به ۳۴/۲ میلیون نفر در سال ۲۰۴۰ افزایش خواهد یافت (۲). یافته‌های اخیر نیز نشان می‌دهد که درصد ابتلا در زنان (۹/۲٪) کمتر از مردان (۹/۸٪) است (۳).

دو نوع بیماری دیابت وجود دارد: دیابت نوع ۱ (دیابت جوانان) و دیابت نوع ۲ (دیابت بزرگسالان) (۴). دیابت نوع ۱، اختلال خودایمنی ناشی از تخریب سلول‌های بنا تولیدکننده انسولین در جزایر لانگرهانس است و بیشتر در کودکان و جوانان شایع بوده است و در زمان تشخیص، تولید انسولین در بدن بیماران بسیار انکد و باید به طور مکرر تزریق زیرجلدی انسولین انجام گردد. همخوانی این نوع از دیابت در دوقلوهای همسان حدود ۲۷٪ است (۵) که نشان‌دهنده نقش هر دو عوامل ژنتیکی و فاکتورهای محیطی در شیوع این بیماری است (۶).

درمان دیابت نوع ۱ و ۲ متفاوت است. دیابت نوع ۱، تزریق چندگانه انسولین لازم دارد. درمان‌های مرسوم دیابت نوع ۲ بر ترشح انسولین و افزایش حساسیت‌زاویی نسبت به آن تمکز دارد و باعث ایجاد عوارض جانبی می‌شود. علاوه، هزینه‌های درمانی دیابت سرسام آور است (۷) که باعث گرایش مردم به طب مکمل شده است. از جمله درمان‌های مکمل استفاده از ترکیبات طبیعی با خاصیت آنتی‌اکسیدانی بالاست (۸). لذا مهم است تا مطالعات برای کشف راهکارهای جدید در درمان این بیماری و توسعه مدل‌های تحقیقاتی، صورت بگیرد.

اپیدیمیولوژی دیابت به خوبی مشخص شده است، اما اطلاعات بیشتری در مورد مکانسیم پیچیده آن که موجب بروز و پیشرفت بیماری است موردنیاز می‌باشد و نمی‌توان مطالعات انسانی به دلیل مسائل قانونی و اخلاقی را به کار برد (۹). به دلیل پیچیدگی و جنبه‌های متفاوت دیابت، شیمی‌سازی مدل‌های حیوانی آن، باید با دقت زیاد صورت بگیرد و به طور ایده‌آل برای نمایش تنوع دیده شده در عوارض مربوطه این بیماری، باید از بیش از یک مدل حیوانی استفاده گردد. برای القاء دیابت در حیوانات آزمایشگاهی از عوامل شیمیایی، دستکاری‌های ژنتیکی و روش‌های ایمونولوژیکی استفاده می‌گردد. استرپتوزوتوسین (STZ) و آلوکسان مهمترین و بیشترین ترکیبات شیمیایی مورد استفاده برای القای دیابت هستند. همچنین مدل‌های حیوانی دیابت می‌توانند بر اساس نوعی از دیابت که مورد مطالعه قرار می‌گیرد، دسته‌بندی شوند (۱۰). هدف از مطالعه



نمودار ۱- مراحل ورود اطلاعات مقالات

## ۱-۲-۱-۱- مدل‌های خودبخودی دیابت

Nonobese diabetic [۱-۲-۱-۱- موس میتوانید از این مدل برای مطالعات دیابت نوع ۱ استفاده کنید. این مدل موس دیابتی غیرچاق (NOD) است. در سال ۱۹۷۴ در آزمایشگاه تحقیقاتی Shionogi، در اسکاری ژاپن معرفی شد [۱۳]. موس NOD بیشترین استفاده را در مطالعات دیابت نوع ۱ داشته و علایم بالینی آنها از جمله هیپرگلیسمی، پرادراری (Polyuria) و پرنوشی (Polydipsia) مشابه با نمونه‌های انسانی این بیماری است. به علاوه در این موس‌ها، عوامل ژنتیکی و همچنین شروع تخریب سلول‌های بتا قبل از ظهور علایم بیماری، تا حدود سن ۳ یا ۴ هفتگی رخ می‌دهد. در اینجا که مرحله پیش دیابتی نامیده می‌شود، به طور غالب لنفوسيت‌های CD4+, CD8+, B و سلول‌های کشنده طبیعی (NK) به درون جزایر پانکراسی نفوذ می‌کنند [۱۴]. سرانجام بعد از یک دوره تخریب سلول‌های بتا که بیش از ۹۰٪ از سلول‌های پانکراسی از بین می‌رود، دیابت آشکار می‌شود (تقرباً در ۲۴ تا ۳۰ هفتگی). شیوع در موس‌های ماده (۹۰٪) بیشتر از موس‌های نر (۶۰٪ تا ۵۰٪) است [۳]. این موس‌ها پس از تخریب سلول‌های بتا به سرعت وزن خود را از دست داده و نیازمند درمان با انسولین هستند.

## ۱-۲-۱-۱- مدل‌های دیابت نوع ۱

دیابت نوع ۱، یک بیماری خودایمنی بر علیه سلول‌های بتای پانکراس است که منجر به فقدان تولید انسولین می‌گردد. در مدل‌های حیوانی نقص در تولید انسولین با مکانیسم‌های مختلفی انجام می‌شود. پنج مدل حیوانی خودبخودی برای دیابت نوع ۱ شامل موس (NOD)، nonobese diabetic (NOD)، موس صحرایی Long Evans Tokushima biobreeding (BB)، موس صحرایی Komeda diabetes-prone (LETI)، موس صحرایی LEW Insulin dependent diabetes mellitus (lew – iddm) می‌باشد. دو مدل (NOD و BB) با اختلاف، بیشترین استفاده را در مطالعات مربوط به دیابت دارند [۳]. ممکن است بعضی از گونه‌های جوندگان همانند انسان‌ها دیابت داشته باشند. این رده‌ها با انتخاب دقیق حیوانات متمایل به دیابت نوع ۱ در جمعیت‌های نرمال تکامل پیدا کرده‌اند. هنگامی که حیوانات دیابتی به طور انتخابی در میان یکدیگر پرورش یافته و جفت‌گیری می‌کنند، درصد بیشتری به دیابت مبتلا می‌شوند. آنها به طور مکرر بارور شده و موجب ایجاد صفات یکنواخت و یک شکل، از جمله صفات دیابتی، در جمعیت می‌شوند. در ادامه این مطالعه به بیان جزئیات و صفات هر کدام از این مدل‌ها پرداخته می‌شود.

انسان و موش NOD بیشتر آل‌های MHC برای بیان فعالیت‌های دیابت‌زئی، نیازمند حضور ژن‌های دیگر می‌باشد (۱۵ و ۲۵). استراتژی‌هایی برای بهبود مدل موش‌های NOD شامل استفاده از دستکاری‌های ژنتیکی (۲۶) یا ایجاد مدل‌های موشی-انسانی با اجزا سیستم ایمنی انسانی وجود داردند (۲۷). با وجود محدودیت‌های موش NOD، هنوز به طور گسترده از آنها برای نشان دادن جنبه‌های زیادی از بیماری‌های انسانی استفاده می‌شود و به تشخیص مسیرهای ژنتیکی و سیگنالینگ دخیل در بیماری دیابت کمک می‌کند.

موش Akita مبتلا به دیابت نوع ۱، با جهش نقطه‌ای در ژن Ins2 (Ins2Cys96Tyr) مشخص می‌شوند. این ژن در پردازش انسولین دخالت داشته و در نهایت موجب مرگ سلول‌های بتا، ایجاد فنوتیپ دیابت (۲۸) و عوارض آن می‌گردد (۲۹). جهش خودبخودی در ژن مذکور موجب ابافتگی پیش انسولین‌هایی با چین خوردگی‌های ناهنجار، درون شبکه آندوپلاسمی سلول‌های بتا می‌شود. این حالت باعث آپوپتوز سلول‌های بتا و در نتیجه اختلال در ترشح انسولین در این گونه حیوانی می‌گردد. در این موش‌ها هیپرگلیسمی، هیپوانسولینی، پرنوشی (polydipsia) و پرادراری دیده می‌شود. این موش‌ها به طور مکرر برای مطالعه عوارض مربوط به دیابت نوع ۱ کاربرد دارند. این مدل علاوه بر دیابت نوع ۱، دیابت نوع ۲ را نیز نشان می‌دهد به گونه‌ای که سلول‌های عضله اسکلتی، کبد و بافت چربی قهومه‌ای آنها در برابر انسولین مقاوم بوده و در نتیجه هیپرگلیسمی در این موش‌ها مشاهده می‌گردد (۳۰ و ۳۱). بنابراین موش‌های Akita به طور مکرر به عنوان مدل‌هایی برای هر دو نوع دیابت ۱ و ۲ مورد استفاده قرار گرفته‌اند (۳۲).

### ۲-۱-۲-موش Akita

موش Akita یکی از رایج ترین نمونه‌های حیوانی مورد استفاده در پژوهش‌های مربوط به بیوستتر انسولین، استرس شبکه آندوپلاسمی و تأثیر آن بر میزان بقا سلول‌های بتا می‌باشد. علاوه بر این از این مدل برای مطالعه پاتوژنی دیابت و عوارض آن نیز استفاده می‌گردد (۳۳). موش‌های Akita به طور خودبه‌خودی در حدود سن ۳ تا ۴ هفتگی دچار دیابت شدید می‌شوند. در مقایسه با نوع هتروزیگوت، در نمونه‌های هموزیگوت، فنوتیپ شدیدتری دیده شده و دچار مرگ پیش از بلوغ می‌گرددند. نگهداری و بقای موش‌های Akita هتروزیگوت، نیازمند تولید مثل بین یک جفت هتروزیگوت و نوع وحشی می‌باشد (۳۴). تغییرات پاتوفیزیولوژیک اولیه و عوارض دیابت در این موش‌ها مشابه با نمونه‌های انسانی است (۳۵). اما عوارض مربوط به مراحل پیشرفتی این مدل مانند خونریزی زجاجیه و غشا فیبروواسکولار ایجاد نمی‌شود. در بررسی شبکیه در موش‌های Akita، تغییرات اولیه نورونی، از دست رفتن سلول‌های آماکرین و گانگلیونی، افزایش میزان

ایجاد دیابت در موش NOD، با قرار گرفتن در معرض میکروب‌ها نسبت معکوس دارد. بنابراین باید در یک محیط مخصوص و عاری از پاتوژن [Specific Pathogen Free (SPF)] قرار بگیرند تا شرایط شیوع دیابت حفظ گردد. این مدل با توجه به تفاوت‌های جنسیتی، غیرقابل پیش‌بینی بودن بروز بیماری و وابستگی به شرایط SPF، در مقایسه با مدل‌های شیمیایی القای دیابت نوع ۱، گران است. عالیم بالینی در موش NOD مشابه با انسان است با این وجود آنها در برابر افزایش کتواسیدوز مقاوم هستند و می‌توانند حدود ۲ تا ۴ هفته بعد از تأیید بیماری، بدون استفاده از انسولین زنده بمانند و سرانجام اگر دیابت درمان نگردد مرگ در اثر دهیدراته شدن اتفاق می‌افتد (۱۷-۱۵).

با استفاده از این مدل، پیشرفت‌های زیادی در فهم این بیماری، شامل تشخیص چندین اتوآنتی‌ژن و بیومارکر مشابه با انسان و توسعه اهداف درمانی صورت گرفته است (۱۸). موش‌های NOD، به دلیل شیاهت در ژن‌های ایجاد‌کننده دیابت نوع ۱ با انسان، برای بررسی مکانیسم و مسیرهای این بیماری بسیار مفید هستند (۱۹). هم در انسان و هم در موش‌های NOD مهم‌ترین عامل ژنتیکی که با ابتلا به دیابت نوع ۱ همکاری می‌کند کمپلکس سازگاری بافتی (major histocompatibility complex (MHC)) حساسیت وابسته به انسولین [insulin dependent susceptibility (idd1)] در موش‌ها و دیابت ملیتوس وابسته به انسولین [insulin dependent diabetes mellitus1 (IDDM1)] در انسان شناخته می‌شود (۲۰ و ۲۱). به علاوه پیش از ۴۰ جایگاه ژنی در انسان و موش NOD نشان داده شده است که نقش مهمی در ابتلا به دیابت نوع ۱ دارند. این ژن‌ها مربوط به عملکرد سیستم ایمنی و تنظیم آن و همچنین در ارتباط با فعالیت سلول‌های بتای پانکراس هستند (۲۲). بنابراین این موش‌ها جهت آزمودن راههای درمانی هدفمند برای تعديل پاسخ خودایمنی، بسیار مناسب می‌باشند با این وجود باید توجه داشت که شماری از داروهای مؤثر بر موش‌های NOD وجود دارند که بر انسان بی‌تأثیر هستند (۲۳).

همانند انسان، موش NOD اتوآنتی‌بادی‌هایی را بر علیه انسولین، گلوتامیک اسید دکربوکسیلاز و آنتی ژن جزیره‌ای ۲ (Islet Antigen2) و decarboxylase (GAD) (IA2) ایجاد می‌کند (۲۴). ژن‌های زیادی در موش NOD وجود دارند که با آمادگی این موش‌ها در ابتلا به دیابت در ارتباط هستند. علاوه بر نقش مهم آل‌های MHC، در بعضی از موارد ژن‌هایی مانند Ag7 و پروتئین مربوط به لنفوسيت T سیتو‌توکسیک ۴ (Cytotoxic T-Lymphocyte Associated Protein 4 (CTLA4)) ژن‌های مشابه در انسان و موش محسوب می‌گرددند. با این وجود، در

حدود ۸ تا ۱۶ هفتگی (سن بلوغ) به طور کامل دیابتی گشته و عالیم انسولینوپنی، پرادراری و پرونوشی را که مشابه با نمونه انسانی است، بروز می دهدند. در این گونه، دیابت تنها بعد از بلوغ دیده می شود و هر دو جنس مذکور و مؤنث به طور مشابه تأثیر می گیرند. در موش صحرایی RT1B-Du BB-DP ظهور دیابت نیازمند حضور حداقل یک آلل MHC II MHC می باشد. همانند نمونه های انسانی کتواسیدوز بسیار شدید است و حیوان نمی تواند بدون انسولین زنده بماند (۳). یک مشکل قابل توجه در این مدل، لنفوپنی شدید سلول های T است که در مدل های انسانی و در موش های NOD وجود ندارد (۴۳).

#### ۲-۱-۱-۴- موش صحرایی LEW.1AR1/-iddm

این مدل دیابت نوع ۱ به طور خودبه خودی، در یک کلونی پرورش داده شده از موش صحرایی lewis با MHC هاپلوتایپ مشخص (LEW.1AR1) در مدرسه پژوهشی هانور، ایجاد شد. یکی از عالیم این موش صحرایی التهاب انسولینی بوده و نشانه های دیابت حدود سن ۸-۹ هفتگی نمایان می شود. به طور اولیه احتمال وقوع دیابت در این حیوان تقریباً ۲۰٪ است (۴۴) ولی با آمیزش بیشتر موش های دیابتی با یکدیگر، احتمال وقوع به حدود ۶۰٪، با میزان برابر در هر دو جنس، افزایش می یابد. تقریباً یک هفته پیش از هیپرگلیسمی، حیوانات یک دوره پیش دیابتی به همراه نفوذ سلول های اینمی به جزایر را نشان می دهند (۴۵). این دوره کوتاه پیش دیابتی اجازه تجزیه و تحلیل مؤثر NOD مراحل مختلف نفوذ سلول های اینمی را می دهد. برخلاف موش و موش صحرایی BB، موش صحرایی LEW-iddm بیماری های خودایمنی دیگری را نشان نمی دهد. همچنین پس از بروز دیابت به خوبی زنده مانده و بنابراین می توان از آنها برای مطالعه عوارض دیابت استفاده کرد (۱۵).

با این وجود تاکنون بیشتر مطالعات مربوط به این مدل روی مکانیسم های دخیل در ایجاد و توسعه دیابت (۴۶) و مطالعات مداخله ای صورت گرفته است (۴۷). موش صحرایی LEW.1AR1 طی یک جهش خود به خودی به وجود می آید و همانند همه مدل های موش صحرایی، آلل Du RT1 B/Du را بیان می کند. LEW-iddm قابل توجهی نیست و آسیب های پانکراسی مشابه موش های صحرایی لنفوپنیک نیست. KDP و BB ایجاد کرده و دیابت در سن ۶۰ روزگی ایجاد می گردد. احتمال بروز دیابت در هر دو جنس با هم برابر و حدود ۷۰٪ است. این حیوانات بدون دریافت انسولین قادر به حیات بوده و دارای علائم مانند پایین بودن انسولین خون، هیپرگلیسمی، گلوكوزاوری و کتونوری هستند (۴۵). اتوآنتی بادی ها برای آنزیم گلوتامیک اسید دکربوکسیاز (GAD) [glutamic acid decarboxylase (GAD)] یا IA-2 در این مدل افزایش پیدا نکرده و بر خلاف مدل های دیگر، سلول های اینمی به جزء پانکراس به تیروبیید، پاروتید یا دیگر غدد هجوم نمی برند (۴۸).

نفوذپذیری انتخابی عروق، توسعه مویرگ های بدون سلول و افزایش لکوستازیس (leukostasis) مشاهده می شود (۳۶). این تغییرات با مراحل اولیه رتینوپاتی دیابتی (DR) مرتبط است. با این وجود این موش ها برای شبیه سازی DR انسانی که نشان دهنده عالیمی چون انحطاط نورومنی، از بین رفت و انسداد مویرگ ها، ادم شبکیه و نئوسکولار بیزاسیون دور شبکیه است، کمتر پیشنهاد می شود. اگر پاسخ های اینمی با میانجی گری سلول T-helper 17 (Th17) در Th17 ایجاد و پیشرفت DR نقش داشته باشد، آنگاه تمایز سلول های Akita خواهد شد. موش هایی که موجب DR شدید تری در موش های Akita نشان دارد. موجو این آنها غیرفعال شده است [gamma interferon gene (GKO)] knockout mice مقدار بالای تمایز و فعال شدگی در سلول های T-helper 2 (Th2) و Th17 دارند. در این موش ها فعال شدگی و تمایز T-helper 1(Th1) مهار گشته و مقدار این سلول ها نسبت به دو سلول بیان شده کاهش پیدا کرده است (۳۷).

#### ۲-۱-۱-۳- موش صحرایی BB (bio breeding)

در مدل شناخته شده با نام موش های BB (bio-breeding) با نام BBDP/bio-breeding (diabetes prone)، که دیابت وابسته به انسولین به طور خودبه خودی ایجاد می شود. این حیوانات در سن ۲ تا ۴ ماهگی هیپرگلیسمی، درجهات مختلفی از نفوذ تک هسته ای ها به جزایر پانکراسی یا از دست دادن کامل سلول های بتا، کاهش انسولین و کتوئنر را نشان می دهند (۳۸-۴۰). هنگام درمان موش صحرایی BB/Worchester (BB/W) با آنتی سرم های خرگوشی برعلیه لنفوسيت های آن، عالیم دیابت در ۳۶٪ از موش ها، مشاهده نشده است. این نتایج نشان می دهد که دیابت در این حیوانات، یک نوع اختلال خود اینمی با واسطه سلول است. تخریب سلول های بتا توسط یک گروه از سلول های اینمی مثل لنفوسيت های T، لنفوسيت های B، ماکروفازها و سلول های NK صورت می گیرد (۴۱). موش صحرایی BB از جفت گیری موش صحرایی نژاد ویستار مشتق می شود. دیابت نوع ۱ خودبه خودی در این موش ها، برای اولین بار در سال ۱۹۷۴ در یک کلونی کانادایی تشخیص داده شد و منجر به ایجاد دو کلونی اصلی (BBDP/Worchester) شد که همه نژادهای دیگر از آنها مشتق می گردند (۴۲).

همان طور که از نام آن پیداست موش صحرایی پرورشی زیستی یک نمونه تولید شده در آزمایشگاه است. موش های BBDP بهترین مدل برای مطالعه دیابت نوع ۱ است و از لحاظ نحوه پیشرفت، شباهت های قابل توجهی بین موش صحرایی BB و دیابت انسانی وجود دارد. التهاب انسولینی به همراه جمعیت غالی از لنفوسيت های Th1 مقدم بر شروع دیابت (قبل از ۲ تا سه هفتگی) است. موش صحرایی BB در

همچنین از آنها برای مطالعات مربوط به پیشگیری از بیماری، مارکرهای اولیه دیابت و رویکردهای درمانی نیز استفاده می‌شود. مستندات تا به امروز نشان می‌دهند که ژن‌های MHC II مهمترین عامل شرکت‌کننده در ایجاد دیابت نوع ۱ در این مدل‌ها و انسان می‌باشد. گرچه داشتن ژن‌های MHC II برای ابتلا به دیابت ضروری است اما منحصراً برای ایجاد این بیماری کافی نیست. شناسایی ژن‌های غیر MHC که در دیابت نوع ۱ شرکت می‌کنند، در دست تحقیق است. به دلیل وجود متعدد مدل‌های مختلف دیابت خودایمنی، این احتمال وجود دارد که بعضی از ژن‌ها در بین مدل‌ها با یکدیگر متفاوت باشند. در موش‌هایی که موجب ایجاد التهاب انسولینی می‌شوند شامل لنفوسیت‌های CD4+(Cluster of Differentiation 4) و CD8+(Cluster of Differentiation 8)، سلول‌های ذندریتی و مونوцит - ماکروفاز هستند. لنفوسیت‌های T در موش‌هایی که تحت تأثیر اختلالات ایمنی (خودبه خودی یا آزمایشگاهی) قرار گرفته‌اند، سریعاً جزایر پانکراسی را مورد هدف قرار داده و منجر به ایجاد التهاب انسولینی و دیابت می‌شوند (۵۶).

**۲-۱-۶-۱-۶-موش صحرایی (KDP)** Komeda diabetes-prone (KDP) یک مدل از زیرنژاد موش صحرایی LETL هستند که متحمل تخریب خودبه خودی جزایر سلولی شده‌اند. در مدل KDP در مقایسه با مدل BB-DP، دیابت کمی دیرتر پیشرفت می‌کند. در این مدل التهاب انسولینی شدید، تقریباً در هفته‌های ۱۷ تا ۳۱ ایجاد می‌گردد (۴۳). ژن‌های MHC و غیر از MHC در ابتلا این موش صحرایی به دیابت نوع ۱ نقش دارند. با این وجود همراهی ژن‌های غیر MHC همانند ژن (b) Cblb (Casitas b-lineage lymphoma b) نقش مهمی را در پیش برد دیابت نوع ۱ ایفا می‌کند. ژن Cblb، یوبی کویتین لیگاز را کد می‌کند. این لیگاز تحریک‌کننده CD28 در طی فعال شدن سلول‌های T بوده و تأثیر به سزاگیری در ابتلا به دیابت نوع ۱ دارد. این ژن هیچ ارتباطی با دیابت در نمونه‌های انسانی ندارد (۵۷).

احتمال وقوع دیابت در این موش صحرایی بین ۷۰٪ تا ۸۰٪ بوده و میزان شیوع در هر دو جنس برابر است (۱۲). موش صحرایی KDP با تخریب سلول‌های بتا در اثر خودایمنی، حمله سریع دیابت بدون تأثیر جنسیت و عدم وجود لنفوپنی قابل توجه در سلول‌های T، مشخص می‌شود. این موش‌ها می‌توانند به عنوان یک مدل حیوانی برای دیگر بیماری‌های خودایمنی بدویژه خودایمنی‌های مربوط به تیروئید مورد استفاده قرار بگیرند (۵۸ و ۵۹). اگرچه در مدل KDP مشابه با مدل‌های خودایمنی دیابت نوع ۱ در دیگر جوندگان، سلول‌های بتا در اثر التهاب انسولینی از بین می‌روند اما در این مدل سایتوکین‌ها متفاوت بوده به گونه‌ای که ایترفرون γ و فاکتور نکروزکننده تومور TNF (α) نسبت به اینترلوکین ۱β (IL-1β) غالب‌تر است (۵۹).

این مدل از مدل NOD متمایز بوده و برخلاف موش صحرایی BBBDP، دیابت به طور مساوی در هر دو جنس مذکور و مؤثث اتفاق می‌افتد (۴۹). این حیوانات کتونوریک بوده اما لنفوپنیک نیستند و تعداد نرمال سلول‌های ART+ (T) را نشان می‌دهند. در این مدل سلول‌های بتا در جزایر لانگرهانس مورد حمله لنفوسیت‌های B، T، ماکروفاز و NK‌ها قرار گرفته و اینکه به نظر می‌رسد که سلول‌های بتا از طریق آپوپتوز از بین می‌روند (۴۲). این تخریب آپوپتوزی سلول‌های ایمنی مهاجم، القا می‌شود (۴۵). در مدل LEW.1AR1-iddm ناکامل ۶۰ درصدی فوتیپ جهش‌یافته نشان داده می‌شود. تجزیه و تحلیل ژنوم در این مدل امکان شناسایی سه نقطه مستعد ایجاد کننده دیابت نوع ۱ را فراهم می‌آورد (۵۰).

در این مدل همانند انسان، موش‌های صحرایی BB و KDP یکی از این نقاط ژنی درون ناحیه MHC قرار گرفته است. این نقطه آمادگی لازم برای ابتلا به دیابت را در این نوع موش صحرایی فراهم می‌کند (۵۱). در این مدل مشخص گردید که انتقال انتخابی سلول‌های ایمنی از موش صحرایی هم نژاد و سالم به موش صحرایی LEW.1AR1-iddm پیش دیابتی باعث حفاظت بر علیه این بیماری می‌شود. بنابراین نتیجه بر این شد که محافظت سلول‌های بتا در برابر سلول‌های ایمنی خودی، به وسیله عوامل تنظیمی آزاد شده از سلول‌های ایمنی انتقال یافته صورت می‌گیرد (۵۲).

**۲-۱-۱-۵-موش صحرایی (LETL)** Long Evans Tokushima Lean (LETL) یکی دیگر از مدل (LETL) Long Evans Tokushima Lean (LETL) نمونه‌های بیماری دیابت خودایمنی (دیابت نوع ۱) است که سلول‌های ایمنی به سلول‌های بتا در جزایر پانکراسی هجوم می‌برند (۵۳). از ویژگی‌های این مدل بروز سریع دیابت، عدم تفاوت جنسی در ابتلا به آن، خودایمنی بر علیه سلول‌های بتا و عدم ایجاد لنفوپنی T است. این حیوانات از نظر مکانیسم القا و نتایج پاتوفیزیولوژیکی به شدت به دیابت نوع ۱ انسانی شبیه بوده و شیوع بیماری در این گونه از ۱۶٪ تا ۲۰٪ متغیر است. هر دو جنس به طور یکسان تحت تاثیر قرار می‌گیرند (۵۴). پرورش انتخابی موش‌های صحرایی LETL منجر به ایجاد یک کلولی با شیوع بالاتر دیابت (۸۰-۹۰٪) گردید. این نژاد، موش صحرایی (KDP rat) نامگذاری شدند. در موش‌های صحرایی LETL دیابت در سن ۳ تا ۴ ماهگی با نشانه‌هایی از جمله پر ادراری، افزایش وزن و هیپرگلیسمی آشکار می‌شود. این نشانه‌ها به طور ناگهانی ظاهر می‌گردند. بعلاوه در این مدل نفوذ لنفوسیت‌ها به تیروئید و غدد بزاقی نیز گزارش شده است (۵۵).

مدل‌های خودبخودی دیابت در جوندگان و مدل انسانی این بیماری صورت گرفته است.

به صورت گسترده روی این نوع موش صحرایی تنها در ژاپن صورت گرفته اگرچه از آنها برای فهم عوامل ژنتیکی مستعد برای دیابت نوع ۱ استفاده گردیده است (۶۰). در ادامه، در جدول ۱ مقایسه بین انواع

جدول ۱- مقایسه ویژگی مدل‌های خودبخودی دیابت نوع ۱ در جوندگان با نمونه انسانی

سن شروع	میزان شیوع	کتواسیدوز	آتونتی‌بادی	التهاب انسولینی	نیاز سریع به انسولین	اختلالات ایمنی دیگر	واسطه‌های MHC	ژن‌های غیر MHC وابسته به MHC
نوجوانی	۹/۵٪	سنگین	Insulin, GAD, ICA, BSA, JCSA CPH, EC, IA-2, IAA	T	دارد	تیروئیدیت، آنمی بدخشم، بیماری سلیاک	HLA-DQ	CTLA-4, LYP/PEP tyrosine phosphatase, IL-2 and CD2
۲۴-۳۰ هفتگی موش	%۵۰-۵۰ ماده %۹۰	مالام	Insulin, ICA, GAD	T	دارد	تیروئیدیتیس، سندروم Sjögren's	I-Ag7	β2microglobulin, CTLA-4, LYP/PEP tyrosine phosphatase, IL-2 and CD25
۴-۳ هفتگی	ناراد				دارد (جنس نر)			Ins2 (Ins2Cys96Ty r)
۱۶-۸ هفتگی	%۵۰-۷۸۰	سنگین	ICA	T	دارد	لیمفوبیض، سیالیتیس	RT1	CTL4-4, IAN-4(immune associated nucleotide-4
۳-۲ ماهگی موش صحرایی	%۷۰	سنگین	ICA	T	دارد	عدم نفوذ لنفوسيتها به تیروئید، پاروتید و دیگر عده	RT1	Cblb
۴-۳ ماهگی	%۱۶-۷۲۰	سنگین	ICA	T	دارد	نفوذ لنفوسيت به تیروئید و غدد بنكري	RT1	RT1
۴-۳ ماهگی	%۷۰-۷۸۰	سنگین	ناشاخته	T	دارد	نفوذ لنفوسيت به تیروئید و کلیه	RT1	RT1

گونه‌های مختلف، متفاوت است. عقیده بر این است که این تفاوت‌ها به اختلافات در بیان GLUT2 مربوط می‌شود (۶۵).

در ادامه، دانش فعلی مربوط با مدل‌های شیمیایی دیابت شامل اطلاعات موجود در رابطه با مکانیسم عمل، زمان لازم، پروتکلهای وابسته به دوز، مشکلات رایج و همچنین محدودیت‌های مربوط به کاربرد آزمایشگاهی آلوکسان و STZ در القاء دیابت بیان می‌گردد.

### ۱-۲-۱-۲- القاء دیابت نوع ۱ با STZ

استرپتزوتوسین (STZ) یک ماده ضدبacterی بوده و به عنوان عامل آکیلله‌کننده در شیمی درمانی نیز استفاده می‌گردد (۶۱). اولین گزارش مبنی بر دیابت‌های STZ در سال ۱۹۶۳ می‌شود (۶۲). آن به طور گسترده برای القاء دیابت در جوندگان استفاده شد (۶۳). STZ به تنهایی، یا همراه با مواد شیمیایی دیگر و یا رژیم‌های غذایی خاص باعث القای هر دو نوع دیابت نوع ۱ و ۲ می‌شود (۶۴). در جوندگان یکی از روش‌های آسان القاء دیابت نوع ۱ تزریق تک دوز مشخص است. اما به دلیل ناپایداری دیابت القاء شده با این روش و همچنین مرگ ۱۰ تا ۲۰ درصد از نمونه‌های مورد مطالعه بر اثر

### ۱-۲-۱-۲- مدل‌های شیمیایی دیابت نوع ۱

روش‌های زیادی برای القای دیابت نوع ۱ وجود دارد اما روش‌های شیمیایی با آلوکسان و STZ برای شبیه‌سازی پاتولوژی این بیماری، از اهمیت بیشتری برخوردار هستند. همانند همه مدل‌های حیوانی، آنچه که در مدل دیابت اهمیت دارد، نمایش ماهیت و پاتوژن بیماری و ایجاد عوارض مربوط به آن است. با این حال حقیقت این است که نمی‌توان تأکید کرد یک مدل حیوانی دیابت وجود دارد که می‌تواند به طور کامل پیشرفت و عوارض این بیماری را در انسان شبیه‌سازی کند. تا به امروز آلوکسان و STZ به عنوان قوی‌ترین مواد شیمیایی دیابت‌های گذشتند و از گرفته می‌شوند (۶۱). هر دو ماده مذکور مشابه به گلوكز هستند و از [glucose transporter 2 (GLUT2)] طریق انتقال دهنده گلوكز ۲ (GLUT2) وارد سلول‌های بباشد و در آنجا ذخیره می‌گردند (۶۱). اگرچه مکانیسم عمل آلوکسان و STZ کاملاً متفاوت است ولی روش انتخاب سلول‌های بباشد، به عنوان سلول هدف، در هر دو ماده مشابه است (۶۲). سمیت STZ (۶۳) و آلوکسان (۶۴) برای سلول‌های بباشد در بین

کمتری می‌باشد (۶۱). از این رو، این ماده به طور اختصاصی و به واسطه GLUT2)، در سلول‌های بتا پانکراس انباشته می‌شود (۷۳ و ۷۴). سلول‌های تولید کننده انسولین که این انتقال دهنده را بیان نمی‌کنند در برابر این ماده مقاوم هستند (۷۵). این مشاهدات سمتی بیشتر STZ را نسبت به نیتروزوربیای دارای MNU، در سلول‌های بیان کننده GLUT2، توجیه می‌کند. STZ تنها بر سلول‌های بتا پانکراس تأثیر نمی‌گذارد بلکه سلول‌هایی در کبد و کلیه که انتقال دهنده GLUT2 را بیان کرده، تحت تأثیر این ماده قرار می‌گیرند (۷۶). با توجه به اینکه GLUT2 به مقدار کمتری در سلول‌های کبد و کلیه وجود دارد دوزهای بالای STZ می‌توانند بر عملکرد این اعضاء تأثیرگذار باشند (۷۷).

استفاده از دوز چندگانه STZ، موجب محدود شدن بیان GLUT2 در شرایط در بدن (in vivo) و آزمایش (in vitro) می‌گردد (۷۸). این ماده با آکیلیه کردن DNA باعث مرگ سلول‌های بتا می‌شود (۷۵). آکیلیه شدن DNA توسط بخش نیتروزaurی STZ بهویژه در محل O6 باز آلی گوانین، انجام می‌شود. لازم به ذکر است که پورین‌های متیله شده مختلفی بعد از تزریق STZ در بافت‌های رت‌ها وجود دارد (۷۹).

نیتریک اکسید یکی از محصولات آزاد شده داخل سلول بر اثر متابولیسم STZ است. این ماده باعث تخریب سلول‌های جزایر پانکراسی شده و همراه با STZ در آسیب به DNA همکاری می‌کند. این مشارکت در چندین آزمایش اثبات گردیده است (۶۴). به بیان دیگر کاهش تراکم نیتریک اکسید درون سلول‌های جزایر پانکراسی، با مهار فعالیت نیتریک اکساید سیستاز، تا حدودی تجزیه DNA را خنثی می‌کند (۸۰). همچنین نتایج مشابه هنگام از بین رفتن اثرات نیتریک اکساید به دست مرآید.

فعالیت تخریبی دیگر STZ تولید گونه‌های فال اکسیژن reactive oxygen species (ROS) است که در قطعه قطعه کردن DNA و برانگیختن تغییرات مضر در سلول به عنوان عامل کمکی عمل می‌کند. آنیون سوپراکساید در نتیجه تأثیرهای STZ بر میتوکندری و افزایش فعالیت زانتین اکسیداز (xanthine oxidase) تشکیل می‌شود. همچنین STZ باعث مهار چرخه کربس (٨١) و کاهش مصرف اکسیژن توسط میتوکندری می‌گردد. این تأثیرات موجب کاهش تولید ATP شده و مقدار این نوكلئوتید در سلول کاهش پیدا می‌کند (٨٢). محدودیت در تولید ATP توسط میتوکندری به طور نسبی توسط NO میانجی گری می‌شود.

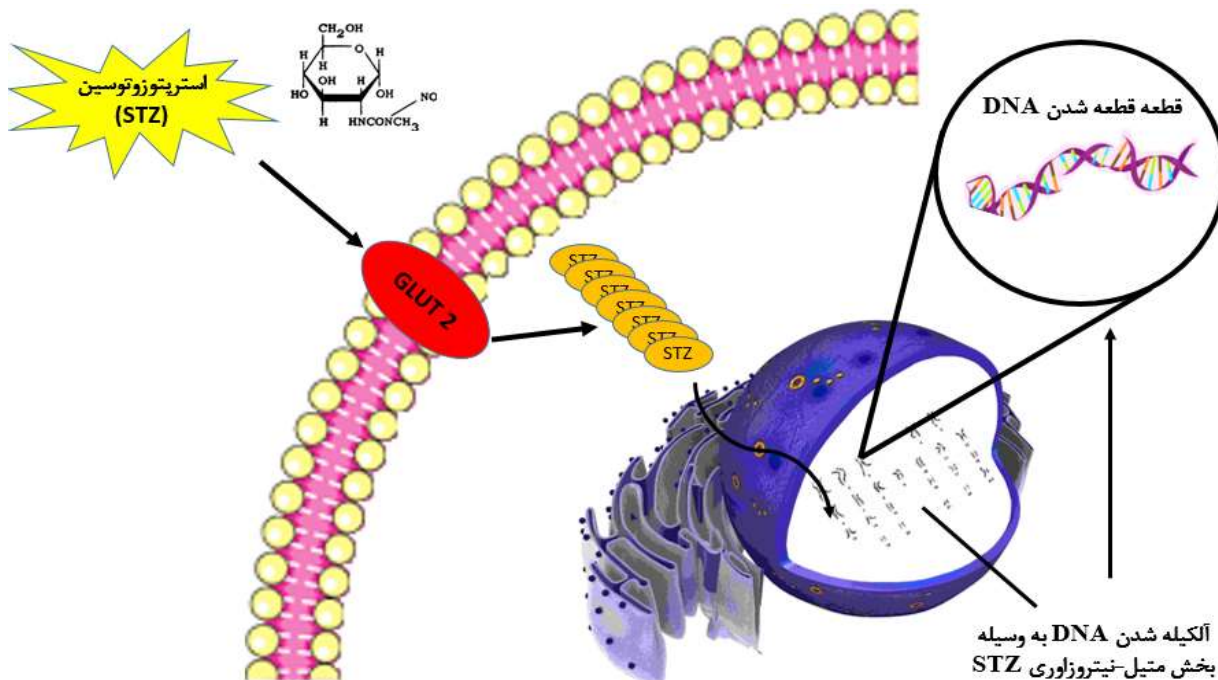
افزایش قد خون و یا سمیت STZ، اینگونه در نظر گرفته می‌شود که دوزهای چندگانه و پایین از امنیت بیشتری برای حفظ حیوانات مورد مطالعه برخوردار هستند (۶۸).

STZ خوارکی به سرعت در کبد متابولیزه شده و سپس توسط کلیه‌ها دفع می‌گردد. به همین دلیل استفاده از این ماده برای القاء دیابت، بیشتر با روش‌های تزریق داخل صفاقی یا داخل وریدی انجام می‌شود. در تزریق داخل صفاقی احتمال آسیب به احشا و در نتیجه مرگ حیوان وجود دارد. تزریق داخل وریدی STZ به یکی از وریدهای دمی یا ورید پنیس (برای جنس نر) صورت می‌پذیرد. تزریق زیر جلدی STZ نسبت به تزریق داخل صفاقی اثر دیابتogene کمتری دارد (۶۹). به دلیل راحتی، تزریق داخل صفاقی بیشتر برای جوندگان و تزریق داخل وریدی برای حیوانات بزرگ‌تر به کار می‌رود. به طور معمول برای القاء دیابت در تزریق داخل وریدی نسبت به تزریق داخل صفاقی از دوزهای کمتری استفاده می‌شود زیرا در روش تزریق داخل وریدی زمان کمتری برای جذب لازم بوده و مقدار کمتری از STZ قبل از رسیدن به سلول هدف غیرفعال می‌گردد (۷۰). STZ نیمه عمر کوتاهی دارد (حدود ۱۵ دقیقه در سرم بعد از تزریق داخل وریدی) و سمتی آن برای کبد و کلیه‌ها بعد از ایجاد یک هیپرگلیسمی پایدار نادیده گرفته می‌شود. از این‌رو هرگونه تأثیر بر عملکرد کبد و کلیه‌ها به عنوان اثری از هیپرگلیسمی در نظر گرفته می‌شود. این موضوع اساس مطالعه مکانیزم عوارض مستقیم دیابت بر این ارگان‌ها (۷۱) و همچنین اعضاء دیگر مثل مغز، قلب و عضلات است (۷۲).

## ۲-۱-۲-۲- مکانیسم عمل استریپتوزوتوسین

توسط استرپتومایسز آکروموزن STZ سنتر شده و برای القاء هر دو نوع دیابت واپسیته به *achromogenes*) انسولین و غیر واپسیته به انسولین مورد استفاده قرار می‌گیرد. یک STZ N-methyl-N-nitrosourea آنالوگ نیتروزاوره و دارای یک بخش (MNU) است که به کربن شماره ۲ از یک هگزوز متصل است. در حالت عادی، سمی بودن STZ به میزان فعالیت آن در آلکیله کردن مولکول DNA از طریق بخش MNU، بستگی دارد. این ویژگی در این ماده و سایر مواد شیمیایی آلکیله کننده، تنها در صورت جذب آنها توسط سلول به نتیجه می‌رسد. با انتقال گروه متیل از STZ به مولکول‌های DNA، زنجیره ای از واکنش‌ها صورت گرفته و در نهایت منح به قطعه قطعه شدن DNA می‌گذرد (شکا ۱۶).

نیتروزواوره لیبوفیل است و به سرعت از غشا پلاسمایی عبور می‌کند اما STZ بهدلیل داشتن بخش هگروز دارای خاصیت چربی دوستی



شکل ۱- یک آنالوگ گلوکز است و از طریق انتقال دهنده GLUT2 وارد سلول‌های بتا پانکراس می‌شود. بعد از ورود به هسته موجب آلکیله شدن DNA و قطعه قطعه شدن آن و سرانجام مرگ سلول می‌گردد.

برای تعیین عوارض پاتولوژیکی دیابت و نشان دادن درمان‌های مؤثر برای آن مقبولیت پیدا کرده است (۲۲).

در مطالعه فورمن و همکاران با بهکار بردن دوز پایین و چندگانه STZ، مدل‌های حیوانی دیابت ایجاد گردید. مطابق با این روش، القاء دیابت با استفاده از ۴۰ mg/kg/day STZ به روش تزریق داخل صفاقی در پنج روز متوالی انجام شد و از آن برای بررسی ظرفیت آنتی‌دیابتی مواد مختلف استفاده گردید (۸۹). این مدل به دلیل شباهت به دیابت نوع ۱ انسانی از نظر التهاب جزایر پانکراسی، التهاب انسولینی، کمبود انسولین و همچنین هزینه کم، مورد توجه قرار گرفت (۸۹).

در مطالعه ترولیناکی و همکاران، برای ایجاد مدل دیابت خود اینمی از STZ با تزریق ۵۰ mg/kg/day به داخل صفاق و به مدت پنج روز متوالی استفاده گردید. در این مطالعه موسشها با سطح گلوکز بیشتر از ۲۵۰ mg/dl به عنوان مدل‌های دیابتی در نظر گرفته شدند و بیان ژن Robo 4 (زن دخیل در پایداری اندوتلیوم و آنژیوژن)، در به تأخیر انداختن یا درمان T1DM نقش داشت، زیرا کاهش بیان Robo4 در موسشها با افزایش نفوذپذیری اندوتلیوم عروقی پانکراس، نفوذ لکوسیت‌ها و آپوپتوز در سلول‌های جزایر همراه بود و موجب القای دیابت با روش تزریق دوز

۳-۲-۱-۲-۳- القاء دیابت نوع ۱ در موش با STZ  
مقدار STZ برای القاء دیابت در گونه‌های حیوانی مختلف، متفاوت است (۸۳ و ۸۴). در موش‌ها نسبت به حیوانات دیگر از دوزهای بالاتری برای ایجاد این بیماری استفاده می‌شود. دو ساعت بعد از تزریق STZ هیپرگلیسمی به همراه تغییرات در مقدار انسولین رخ می‌دهد. تقریباً ۸ ساعت بعد از آن نشانه‌هایی از هیپوگلیسمی به همراه افزایش در مقدار انسولین خون دیده می‌شود. سرانجام در اثر کاهش مقدار انسولین خون، هیپرگلیسمی صورت می‌گیرد (۸۵). این تغییرات در مقدار قند خون و انسولین، ناهنجاری‌های ایجاد شده را در فعالیت سلول‌های بتا توجیه می‌کند.

در حال حاضر، استفاده از دوزهای پایین و چندگانه STZ در موش‌ها، برای ایجاد دیابت نوع ۱ عمومیت پیدا کرده است (۸۶). به طور معمول در این روش، مقدار ۴۰-۶۰ mg/kg/day به مدت چهار یا پنج روز متوالی استفاده می‌گردد (۸۷). این روش غالباً در موش‌ها کاربرد داشته و القاء دیابت ملیتوس وابسته به انسولین [IDDM (insulin)] dependent diabetes mellitus) انجام می‌شود. در صورت مهار اختصاصی فعالیت سیستم ایمنی، قبل از تزریق STZ، توانایی این ماده برای القاء دیابت کاهش پیدا می‌کند (۸۸). به طور گسترده، استفاده از این روش در موش‌های C57BL/6

موش‌های صحرایی اندازه‌گیری شد. حیواناتی که میزان گلوکز خون آنها بالاتر از  $200 \text{ mg/dl}$  بود به عنوان دیابتی در نظر گرفته شدند. نتیجه این مطالعه ارایه‌دهنده یک گزارش جامع از تأثیر T1D ناشی از STZ بر ترکیب میکروبیوتای روده، تنوع و تولید متابولیت تخمیر میکروبی در طول زمان بود. همچنین تغییرات مشاهده شده در میکروبیوتای روده موش‌های صحرایی T1D، فقط ناشی از توسعه بیماری است و هیچ نقشی در ایجاد دیابت ندارد. طبق نتایج به دست آمده، یک هفته بعد از تزریق STZ، با توجه به سطح بالای گلوکز خون ( $572/6 \pm 10/3 \text{ mg/dl}$ )، دیابت شدیدی در حیوانات مورد مطالعه مشاهده گردید. در حالی که سطح نرمال گلوکز در رتها حدود mg/dl مشاهده شد. افزایش شدید در سطح گلوکز خون در طول دوره مطالعه ثابت باقی ماند. در رتها دیابتی پرادراری، پرنوشی، پرخوری و مدفوع زیاد و در مقایسه با گروه کنترل کاهش وزن قابل توجهی مشاهده گردید (۹۵).

ظرفیت دیابتوزنی STZ در حیوانات و حتی نژادهای مختلف، متفاوت است. بنابراین یک مطالعه برای مقایسه تأثیر تک دوز STZ بر موش‌های صحرایی نژاد (NR) و nude(SD) و Sprague-Dawley(SD) صورت گرفت. هدف از این مطالعه بررسی تفاوت‌های مربوطه نژادها در پاسخ به خاصیت دیابتوزنی STZ بود. به همین جهت مقدار mg/kg STZ به داخل صفاق یک گروه هشت تایی موش‌های صحرایی SD و یک گروه بیست تایی موش‌های صحرایی NR تزریق گردید. شدت القا دیابت در طول مطالعه با استفاده از اندازه‌گیری روزانه وزن، نشانه‌های بالینی و سطح گلوکز خون بررسی شد. به طور میانگین در موش‌های صحرایی نژاد NR پنج روز بعد از تزریق چهار تعداد چهار موش صحرایی جان خود را از دست دادند در حالیکه تنها بعد از دو روز از تزریق STZ، همین تعداد از موش‌های صحرایی نژاد SD مردند. نتایج نشان داد که سطح گلوکز سرم تنها در ۳۵٪ از موش‌های SD صحرایی NR افزایش پیدا کرد در حالیکه در موش‌های صحرایی SD افزایش زیادی در سطح گلوکز خون مشاهده شد. بنابراین رتها SD به درمان با انسولین نیاز پیدا کردند. بنابراین نژاد SD در مقایسه با نژاد NR، آمادگی بیشتری برای القا دیابت با STZ (مقدار  $150 \text{ mg/kg}$ ) دارند (۹۶).

در مطالعه دیگری با تزریق  $20 \text{ mg/kg day}$  STZ، به مدت سه روز، القا دیابت را در موش‌های صحرایی نژاد ویستار همراه با آسیب برگشت‌پذیر به پانکراس مشاهده نمودند. این مدل به طور بهتری، دیابت انسانی را که در آن سلول‌های بتا هنوز درجه‌ای از عملکرد دارند، شبیه‌سازی می‌کند. استفاده از این مدل می‌تواند هنگام قرار گرفتن دیابت در فاز بهبود، برای مطالعات مربوط به بازیابی عملکرد سلول‌های بتا پانکراس مناسب باشد. به طور معمول موش‌های صحرایی نژاد

[multi low dose streptozotocin (MLDS)] پایین چندگانه [MLDS] گردید (۹۰). همچنین یک مطالعه نشان داد که پنج روز بعد از تزریق آخرین دوز STZ ( $50 \text{ mg/kg/day}$ ) افزایش در بیان سایتوکین‌های TNF- $\alpha$ ، IL-6، IL-2، IL-1B، IL-1A، IFN- $\gamma$  و CD3 به جایی پانکراسی در خون و همچنین نفوذ لنفوسيت‌های CD3 به علاوه افزایش اندک، اما چشمگیر مقدار گلوکز خون در روز بیست و پنجم بعد از آخرین تزریق مشاهده گردید (۹۱).

حلال STZ در مطالعات مربوط به القا دیابت، بافر سیترات است زیرا در PH اسیدی از پایداری بیشتری برخوردار است. با این وجود در صورت استفاده از STZ بالا فاصله بعد از حل کردن آن، می‌توان از نرمال سالین به عنوان حلal استفاده کرد (۷۰). نکته دیگر حساسیت کمتر موش‌های ماده نسبت به موش‌های نر در برابر STZ است به همین دلیل بیشتر مطالعات مربوط به این مدل در جمعیت موش‌های نر انجام می‌گردد (۸۹).

روش دیگر القا دیابت در موش‌های استفاده از تک دوز STZ است. در این روش از مقدار متوسط تا بالای  $100 \text{ mg/kg}$  STZ ( $250-100 \text{ mg/kg}$ ) استفاده می‌شود (۸۷). برای نمونه در یک مطالعه تک دوز بالای این ماده (۲۰۰ mg/kg) به طور مستقیم، موجب مرگ سلول‌های بتا گردید و در مدت زمان ۴۸ ساعت، دیابت با سطح گلوکز خون بالاتر از  $500 \text{ mg/dl}$  به ایجاد شد (۹۲). برخی از موش‌ها بعد از دریافت دوز بالای STZ به دلیل نکروز سلول‌های بتا و در نتیجه آزاد شدن میزان زیاد انسولین و نهایتاً ایجاد هیپوگلیسمی شدید و کشنده، سریعاً (تا ۲۴ ساعت) جان خود را از دست دادند. در این حالت اگر تعداد موش‌های مرده بیشتر از ۲۰ درصد باشد از تزریق داخل صفاقی  $1 \text{ میلی لیتر محلول} / ۵\% \text{ گلوکز}$ ، به جای نوشیدن آب ساکارز  $10\%$  استفاده می‌گردد تا از هیپوگلیسمی کشنده جلوگیری شود (۹۳)، سلول‌های بتا چندین گونه حیوانی شامل موش، موش صحرایی، میمون و به مقدار کمتر خرگوش به اثرات STZ حساس هستند. در حال حاضر برای القا دیابت در رتها و موش‌های بیشتر از STZ استفاده می‌گردد.

**۴-۲-۱-۲-۴** القاء دیابت نوع ۱ با MLDs در موش صحرایی STZ به طور معمول از موش‌های صحرایی برای القاء دیابت، با استفاده می‌شود. همانند موش‌ها ایجاد این بیماری وابسته به مقدار STZ بوده و با دو روش تک دوز و چند دوز انجام می‌گیرد. یکی از روش‌های رایج استفاده از تک دوز STZ (بین ۴۰ تا ۷۰ میلی‌گرم بر کیلوگرم) در رتها با سن ۸ تا ۱۰ هفته‌ای است (۹۴). بیشتر محققان برای القا این مدل از تک دوز  $65 \text{ mg/kg}$  استفاده می‌کنند. در مطالعه پاترسون و همکاران، تزریق داخل صفاقی STZ ( $65 \text{ mg/kg}$ ) در راهی از القاء دیابت نوع ۱ در رتها Sprague-Dawley گردید. در پایان هر هفت‌های سطح گلوکز در نمونه‌های خون وریدهای دمی

آلوكسان موادی هستند که بیشترین کاربرد را در مطالعات مربوط به دیابت دارند. تجزیه و تحلیل اطلاعات نشان می‌دهد که برای القا دیابت در مطالعات حیوانی  $\frac{3}{30}$ % مطالعات از آلوكسان،  $\frac{57}{9}$ % دیگر از STZ و بقیه مواد از گلوکز، فروکتوز و دستکاری‌های آن استفاده می‌شود. با این حال تزریق داخل صفاقی مقدار  $170\text{ mg/kg}$  تا  $200\text{ mg/kg}$  آلوكسان بیشترین تأثیر را در القاء دیابت دارد. اولین گزارش مبنی بر دیابت‌توژنی این ماده توسط Dunn و McLetchie منتشر گردید و آنها توانستند با آلوكسان دیابت را در خرگوش القاء نمایند (۱۰۲). در این مدل دو پیامد پاتولوژیکی متفاوت دیده می‌شود. این پیامدها شامل القاء دیابت در اثر مهار ترشح انسولین تحریک شده با گلوکز یا تشکیل رادیکال‌های آزاد (ROS) پیش‌برنده نکروز سلول‌های بتا هستند. ترشح انسولین با مهار آنزیم حساس به گلوکز (گلوکوکیناز) توسط آلوكسان است در حالی که اثر دوم به طور نسبی در ارتباط با سیکل اکسایش کاهش و تولید ROS است. این اثرات به طور ویژه در ارتباط با مشخصات شیمیایی آلوكسان و ساختار آن هستند.

#### ۱-۱-۶-۲- مکانیسم عمل آلوكسان

آلوكسان از نظر ساختاری بسیار شبیه به گلوکز است. این ماده هیدروفیل برای سلول‌های بتا سمی است و تحت عنوان مونوهیدرات آلوكسان در محلول‌های آبی وجود دارد (۶۱). گلوکز یک مولکول آبدوست است به همین دلیل قادر به عبور از غشا لبیپیدی دولایه و ورود به درون سلول نیست. بنابراین از طریق مکانیسم انتشار تسهیل شده، شامل یک پروتئین انتقالی واقع در غشا سلول، به نام انتقال‌دهنده گلوکز ۲ (glucose transporter 2) جا به جا می‌گردد. به سبب شباهت با گلوکز، آلوكسان نیز برای ورود به سلول، نیازمند انتقال از طریق GLUT2 است (۱۰۳). لازم به ذکر است که آلوكسان اثر مهاری بر عملکرد این انتقال‌دهنده نداشته (۱۰۴) و به صورت نامحدود وارد سلول می‌شود (۱۰۵). بنابراین این ماده بر سلول‌های ترشح‌کننده انسولین که این انتقال‌دهنده را بیان نمی‌کنند، تأثیر سمی ندارد (۱۰۶). مکانیسم جذب گلوکز در انسان و حیوانات متفاوت است و این موضوع دال بر این است که چرا آلوكسان، حتی در دوزهای بالا، برای نمونه‌های انسانی غیر سمی است (۱۰۷).

گلوکوکیناز دارای دو گروه تیول (SH-) است که آن را مستعد اکسیداسیون با آلوكسان می‌نماید (۱۰۸). این حادثه در همان ابتدای قرار گرفتن آنزیم در معرض آلوكسان اتفاق افتاده و چند دقیقه بعد از تزریق این ماده باعث مهار ترشح انسولین، می‌شود (۱۰۹). آلوكسان می‌تواند فعالیت چندین آنزیم دیگر دارای گروه تیول را مثل فسفوفروکتوکیناز (۱۱۰)، آکونیتاز (۱۰۸)، هگزوکیناز (۱۲۴) و پروتئین کیناز وابسته به کالمودولین/کلسیم (۱۱۱) مهار کند. با این وجود

ویستار و Sprague Dawley، با تزریق تک دوز  $40\text{ mg/kg}$  STZ (۶۰) برای القاء دیابت مورد استفاده قرار گرفتند (۹۷ و ۹۸). با این وجود در این مدل‌های حیوانی، القا دیابت با تک دوز بالاتر STZ آسیب‌های غیرقابل برگشتی را به پانکراس ایجاد می‌کند. مطالعات بافتی وجود التهاب انسولینی همراه با نابودی قابل توجه شماری از سلول‌های بتا و همچنین نفوذ سلول‌های التهابی را در مقایسه با گروه‌های درمان نشده با STZ نشان داد (۹۹).

#### ۱-۲-۵- القاء دیابت نوع ۱ با آلوكسان

از آلوكسان به طور گسترده برای القاء دیابت در حیوانات آزمایشگاهی استفاده می‌گردد. این ماده با فعال کردن پر اکسیداسیون لبیپیدها باعث مرگ سلول‌های بتا شده و در نتیجه دیابت نوع ۱ را القا می‌کند. گزارش‌ها حاکی از آن است که هیپرگلیسمی ایجاد شده در اثر مصرف آلوكسان و کاهش انسولین و افزایش گلوکاگون است. آلوكسان علی‌رغم از بین بردن سلول‌های بتا موجب تحریک سلول‌های آلفا جزایر شده و در نتیجه از این طریق نیز هیپرگلیسمی را القا می‌کند (۱۰۰).

اگرچه مدت زیادی است که از آلوكسان و STZ برای القاء دیابت در حیوانات استفاده می‌شود ولی در جاهایی دیگر این مواد نادیده گرفته می‌شوند. برای نمونه، کاملاً آشکار است که این داروها باعث کاهش انسولین می‌گردند اما کمتر مطالعه‌ای وجود دارد که با استفاده از این مواد، نمونه‌های انسانی دیابت (جوانی و بزرگسالی) به طور کامل شیبیه‌سازی گردند. علاوه‌بر این به نظر می‌رسد که حیوانات زیادی وجود دارند که در برابر اثر این داروها مقاوم بوده و یا تنها در بخش کوچکی از جمعیت درمان شده دیابت تکامل پیدا کرده است (۱۰۱).

آلوكسان به عنوان یک عامل ایجاد هیپرگلیسمی شناخته می‌شود ولی در ۴۸ ساعت اولیه بعد از تزریق آن یک هیپوگلیسمی آشکار مشاهده می‌گردد که احتمالاً نتیجه آزاد شدن انسولین سلول‌های بتا آسیب دیده می‌باشد. به همین دلیل لازم است که میزان قند خون در این بازه زمانی اندازه‌گیری و اجازه دسترسی نامحدود حیوانات به مایعات خوش طعم و غنی از شکر در هفته اول بعد از تزریق شود. ارزان بودن و در دسترس بودن آلوكسان نسبت به STZ باعث شده تا این ماده به میزان بیشتری مورد استفاده قرار بگیرد (۶۲). آلوكسان با نام شیمیایی  $5,5\text{-dihydroxy-2,4,6-trione}$  یک ترکیب آلی و مشتق از اوره، کارسینوژن و مشابه با گلوکز است (۶۱). فرمول مولکولی آن  $\text{C4H2N2O4}$  و جرم آن  $142.06\text{ g/mol}$  می‌باشد.

به طور کلی عوامل دیابت‌توژنی دیگری نیز وجود دارند که می‌توان به دیتیزون (dithizone)، مونوسدیم گلوتامات (monosodium glutamate)، تیوگلوکز طلا (gold thioglucose)، استرس‌های بالای فروکتوز و گلوکز و سرم‌های ضد انسولین اشاره کرد. ولی STZ

تیموس موش‌ها نیز به مقدار ۴ تا ۵ برابر کمتر از بیان آن در پانکراس است. این میزان از بیان در تیموس به اندازه‌ای نیست که روی سطح این هورمون در جویان خون تأثیر داشته باشد (۱۲۰). در حال حاضر شواهدی وجود دارند که سلول‌های تیموس با تولید پیتیدهایی مثل تیمولین می‌توانند پاسخ‌های التهابی را تعديل کرده و در آینده داروهای ضدالتهابی موثر باشند (۱۲۱). گفته می‌شود شکستهای اولیه یا اکتسابی در تحمل اینمی مرکزی نسبت به سلول‌های بتا نقش اولیه‌ای در پاتوژن‌دیابت نوع ۱ دارند. این اطلاعات باعث ایجاد رویکردهای تنظیم‌کننده برای بازیابی تحمل اینمی مرکزی نسبت به سلول‌های بتا گردیده است (۱۲۲). در نهایت حدود ۱۵٪ از حیوانات دو تا پنج ماه بعد از تزریق الوكسان به دیابت مبتلا شدند. بنابراین اینگونه نشان داده شد که این شرایط رسیک ابتلا به دیابت نوع ۱ را در موش‌ها بالا می‌برد. در طرف دیگر تزریق دو دوز  $250\text{ mg/kg}$  و  $300\text{ mg/kg}$  الوكسان، در فاصله یازده روز، باعث القاء دیابت پیشرفته در موش‌ها گردید. تجزیه و تحلیل‌های انجام شده، ۱۰ روز پس از دومین تزریق الوكسان، همواره سطح گلوكز را بالاتر از  $18\text{ mmol/l}$  نشان داد. در این حالت

موش‌ها با قطعیت به عنوان نمونه‌های دیابتی شناخته می‌شوند (۱۲۳). پژوهش ویدیاستوئی و همکاران نشان داد که عدم دسترسی به غذا ۶ تا ۸ ساعت قبل از تزریق آلوکسان باعث بهبود القا دیابت در موش‌ها می‌گردد (۱۲۴). آنها آلوکسان ( $160 \text{ mg/kg}$ ) را به صورت محلول در  $\frac{1}{3}$  میلی‌لیتر آب، به روش زیرجلدی و به پشت گردن موش‌ها تزریق نمودند و در نهایت موش‌هایی را که سطح گلوكز ناشتا بالاتر از  $200 \text{ mg/dl}$  بود به عنوان گروه دیابتی در نظر گرفتند. موضوع دیگر کاهش وزن موش‌ها در نتیجه تزریق آلوکسان بود. این موضوع نشان داد که آلوکسان باعث تخریب ساختار پانکراس شده و در نتیجه میزان ترشح انسولین و متا-انسولین در ده مختلط  $\text{mU/g}$  (۱۲۵).

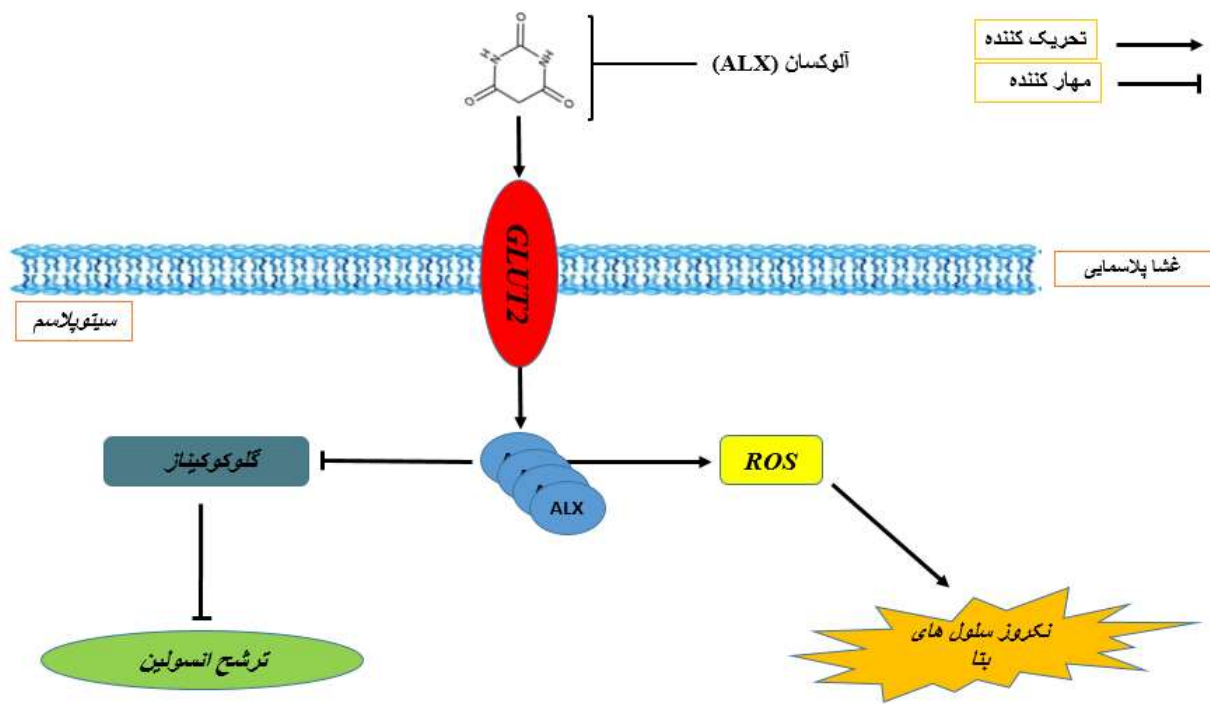
در روش های القاء دیابت با استفاده از آلوکسان، ۱۲ ساعت قبل از درمان با این ماده، موش ها به هیچ منبع غذایی دسترسی ندارند. آلوکسان در نرمال سالین ( $\text{PH} = 7/4$ ) و به داخل صفاق موش ها تزریق می گردد. بعد از ۲۴ ساعت، برای جلوگیری از هپیوگلیسمی در اثر آزاد شدن مقدار زیاد انسولین (در نتیجه تخریب سلول های بتا)، محلول گلوکز ۵٪ به موش ها داده شد (۱۲۵).

۲-۱-۸-القا دیابت نوع ۱ با آلوکسان در موش صحراوی  
در برخی از مطالعات برای القاء دیابت در حیوانات آزمایشگاهی مثل  
موش‌های صحراوی از چندین بار تزریق آلوکسان به طور متوالی  
استفاده می‌گردد. در مطالعه شی و همکاران (۲۰۱۶) با استفاده از  
محصول آلوکسان مدل‌های آزمایشگاهی دیابت نوع ۱ ایجاد شد (۱۲۶).

گلوکوکیناز آماده ترین آنزیم تیولی در برابر سمیت آلوکسان، درون سلول های بتا است (۱۱۲ و ۱۱۳). آلوکسان با مهار گلوکوکیناز از اکسیداسیون گلوکز و در نتیجه تولید ATP جلوگیری می نماید و در اثر کمبود ATP سیگنال های لازم برای ترشح انسولین، سرکوب می گردد (۱۱۴). ممکن است آلوکسان از طریق یک مکانیسم مشابه، بیوستتر انسولین را نیز مهار کند (۱۱۵). بنابراین آلوکسان دارای دو اثر پاتولوژیکی متفاوت است: یکی از اثرات آن به طور انتخابی سبب مهار ترشح انسولین از طریق مهار اختصاصی گلوکوکیناز می باشد. گلوکوکیناز یک سنسور مربوطبه گلوکز در سلول های بتا است. تأثیر دیگر آلوکسان از طریق تشکیل ROS و متعاقب آن نکروز سلول های بتا می باشد (شکل ۲). این تأثیرات به ویژگی های شیمیایی آلوکسان، که به طور اختصاصی موجب جذب و انباشتگی این ماده در سلول های بتا می گردد، نسبت داده می شود. آلوکسان یک ترکیب شیمیایی بسیار ناپایدار بوده (۱۱۶) و از نظر شکل مولکولی شیشه به گلوکز است (۱۰۳).

-۷-۲-۱-۲-۷- القاء دیابت نوع ۱ با آلوکسان در موش  
برای القا دیابت در موش از مقادیر مختلف آلوکسان استفاده می‌گردد.  
به طور معمول دامنه این تغییرات بین ۵۰ تا  $200\text{ mg/kg}$  متفاوت است.  
در مطالعه اوزاکی و همکاران، تزریق داخل وریدی  $75\text{ mg/kg}$   
آلوکسان به موش‌ها، هیپرگلیسمی ( $>300\text{ mg/dl}$ ) و گلوکوزاوری  
 $(>500\text{ mg/dl})$  شدید به مدت ۳۵ هفته مشاهده گردید و بین  
هفتاهای  $26\text{ تا }41$  هیچ تغییر وزن، در آنها دیده نشد.

در پژوهش دیگری، تزریق تک دوز  $250\text{ mg/kg}$  آلوکسان باعث ایجاد یک فاز پیش دیابت و تزریق دو مرحله متوالی  $250\text{ mg/kg}$  و  $300\text{ mg/kg}$  آلوکسان با فاصله زمانی یازده روز دیابت پیشرفته القاء گردید. وضعیت ایمنی حیوانات پیش دیابتی بعد از یازده روز، یعنی هنگام پایین‌تر بودن سطح گلوكز از نمونه‌های دیابتی، مورد بررسی قرار گرفت. التهاب مزمن که شاخصه دیابت نوع یک است، در نتیجه آزادشدن میانجی‌های التهابی به‌ویژه  $\text{IL-1}\beta$  و  $\text{TNF-}\alpha$  اتفاق می‌افتد. این فاکتورها مقاومت سیستماتیک نسبت به انسولین و آسیب سولول‌های بتا را پیش می‌برند. علاوه‌بر استرس اکسیداتیو، سرکوب عملکرد تیموس نیز باعث ایجاد التهاب مزمن می‌گردد. در دوره جنینی، تیموس نقش مهمی را در ایجاد تحمل ایمنی مرکزی نسبت به خانواده پروتئین‌های نورواندوکرین، شامل سولول‌های ترشح‌کننده انسولین در جزایر پانکراسی ایفا می‌کند. در حقیقت، چندین ژن نورواندوکرینی در سولول‌های اپیتلیالی تیموس انسان و حیوانات رونویسی می‌شوند (۱۱۷). گزارشاتی مبنی بر بیان کم  $\text{ppIns}$  در تیموس نوزادان و جنین انسان وجود دارد (۱۱۸ و ۱۱۹). بیان این ژن در



شکل ۲- آلوکسان به دو طریق باعث القاء دیابت نوع ۱ می‌گردد. در یک مسیر با مهار گلوکوکیناز از تولید و ترشح انسولین جلوگیری می‌کند. در مسیر دوم با تشکیل رادیکال‌های آزاد موجب مرگ‌های بتا می‌شود و در نتیجه دیابت نوع ۱ را القاء می‌کند.

موس‌های صحرایی دیابتی نشان‌دهنده تغییرات نکروتیک شدید بود. پس از ۲۶ هفته، مقاطع پانکراسی به دست آمده افزایش اسیدوفیلی، نفوذ سلول‌ها به دیواره بین لبولی، خونریزی، ورود فیبروبلاست‌ها به برخی از لبول‌های پانکراسی و درهم گسیختنگی آسینی‌های پانکراسی را نشان داد. همچنین مقاطع پانکراسی رنگ شده با روش گوموری تغییریافته، تغییرات هسته، کاربولیز، ناپدید شدن هسته و تقلیل محتویات هسته را در سلول‌های بتا نمایش دادند (۱۲۷).

در پژوهش دیگری القاء دیابت نوع ۱ با روش تزریق چندگانه داخل صفاق آلوکسان (۷۵ mg/kg) در بافر سیترات (pH=۳ ۵۰ mM)، در پنج روز متوالی انجام شد. همان‌طور که انتظار می‌رفت مارکرهای متابولیسم بی‌هوایی مانند لاکتات پلاسماء، در موس‌های صحرایی افزایش پیدا کرد. از سوی دیگر آلوکسان، سطح انسولین را به میزان چشمگیری کاهش داد که نشان‌دهنده القاء دیابت در این گروه از حیوانات بود (۱۲۸). در ادامه در جدول ۲ نمونه‌هایی از مقادیر به کار رفته آلوکسان و STZ در مطالعات مختلف آورده شده است.

موس‌های صحرایی در دو نوبت و با فاصله ۲۴ ساعت، تحت تزریق داخل صفاقی ۱۰۰ mg/kg آلوکسان قرار گرفتند. بعد از نوبت دوم تزریق، مقدار قند خون (بعد از ۱۲ ساعت گرسنگی) اندازه‌گیری و قند خون بالاتر از ۱۶/۷ mmol/lit به عنوان مدل دیابتی در نظر گرفته شدند. در گروه دیگر از موس‌های صحرایی تک دوز آلوکسان (۲۰۰ mg/kg) تزریق گردید. القاء دیابت در ۴۴٪ از موس‌های صحرایی صورت گرفت و مقدار مرگ‌ومیر در این گروه ۲۴٪ بود. در طرف مقابل گروهی که تزریق آلوکسان در دو مرحله و به مقدار ۱۰۰ mg/kg انجام شد نتایج بهتری را به همراه داشت. در این گروه درصد القاء دیابت تقریباً ۶۴٪ و میزان مرگ و میر حیوانات ۱۲٪ بود. بنابراین می‌توان نتیجه گرفت که القاء دیابت با استفاده از روش چند دوز می‌تواند اثر القایی بیشتر و تلفات کمتری داشته باشد (۱۲۶).

روش تزریق چند دوز آلوکسان در حیوانات دیگر مثل خرگوش نیز به کار رفته است. نمونه‌ای از این تحقیقات با تزریق چهارگانه آلوکسان به میزان ۸۰ mg/kg در فواصل یک هفتاهی و به روش داخل صفاقی بر خرگوش‌های سفید نیوزیلنڈی انجام گردید. حدود ۷ هفته بعد، مقاطع پانکراسی رنگ‌آمیزی شده با هماتوکسیلین و ائوزین در

جدول ۲- مقادیر مورد استفاده آلوکسان و STZ در چند مطالعه مختلف (MLD\*: multiple low dose)

مدل	مدل حیوانی	زمان ناشتا	نحوه استفاده	روش معمول تزریق	وزن‌های مورد استفاده (mg/kg)
آلوکسان	موس	۱۲-۲۴ ساعت	داخل صفاقی	داخل وریدی	۱۰۰-۸۰-۷۵-۶۰
				داخل صفاقی	۵۰۰-۳۰۰-۲۰۰-۱۸۶/۹
				زیر جلدی	۴۱۰-۲۰۰-۱۶۰-۱۵۰-۱۰۰
				داخل وریدی	۶۵-۵۰-۴۰
				داخل صفاقی	۱۵۰-۱۰۰-۷۵
	موس صحراخی	۲۴-۱۲ ساعت	داخل صفاقی	زیر جلدی	۱۷۰-۱۳۵-۱۱۰-۳۰
				داخل وریدی	۲۰۰-۱۸۰-۱۵۰-۱۴۰-۱۲۰-۳۰
				داخل صفاقی	MLD:۵۰*
				داخل صفاقی	۲۰۰-۱۲۰-۷۰-۶۰
				زیرجلدی	MLD:۵۵
STZ	موس	۲۴-۱۲ ساعت	داخل صفاقی	داخل وریدی	۲۰۰-۶۵-۶۰-۵۰-۴۰-۲۰
				داخل صفاقی	۷۵-۶۰-۵۵-۵۰-۳۵
				زیرجلدی	۸۰-۶۵-۶۰-۵۵-۵۰-۳۵
				داخل صفاقی	۱۰۰-۷۰-۶۰-۵۵
				زیرجلدی	

## ۱-۳-۲- مزایای مدل دیابت Zebrafish

Zebrafish به عنوان یک مدل محبوبیت زیادی را در مطالعه دیابت و شماری از بیماری‌های متابولیکی دیگر به دست آورده است (۱۳۲). در مقایسه با نمونه‌های دیگر مزایای زیادی دارد. اولین مزیت وجود جنین‌های شفاف آنها که اجازه تصویربرداری از ارگان‌ها و فرآیندهای فیزیولوژیکی در شرایط *in vivo* در آزمایشگاه و سازگاری برای غربالگری شیمیایی و ژنتیکی می‌باشد (۱۲۹). چندین پروتکل مشخص برای تعییر سطح گلوكز در Zebrafish های جنین و بالغ وجود دارد. ساده‌ترین روش برای افزایش سطح گلوكز خون و بافتی این حیوانات استفاده از محیط‌هایی با غلظت بالای گلوكز است. در این روش قرار گرفتن حیوانات در یک محیط با سطح گلوكز بالا (گلوكز بیش از ۴ درصد= بالاتر از ۲۰۰ mMol/L)، بعد از مدت دوماه منجر به است (۱۳۶).

در Zebrafish تعییرات حاصل از هیپرگلیسمی در ارگان‌ها سریع‌تر از جوندگان انفاس می‌افتد. بنابراین در مطالعات این نمونه‌ها نسبت به موش‌ها و موش صحراخی، زمان کمتری برای آنالیز این تعییرات لازم است. این تعییرات در موش‌های صحراخی ممکن است تا هفته‌ها طول بکشد ولی در Zebrafish تنها دور روز زمان می‌برد (۱۳۴). شش روز پس از لفاح، پانکراس در لاروهای این گونه شکل و موقعیت نهایی خود را به دست آورده و دارای سر، گردن و دم مشخص می‌باشد. جزایر توسط بافت برون ریز پانکراس محاصره شده و در بخش بزرگ قدامی قرار می‌گیرد. گردن کوچک و دم بزرگ پانکراس شامل بخش برون‌ریز می‌باشند. به همین دلیل بسیاری از پژوهشگران از Zebrafish به عنوان مدل برای مطالعه مکانیسم مولکولی تکامل پانکراس و بیماری‌های پانکراسی استفاده می‌کنند (۱۳۷).

## ۱-۳-۲- القاء دیابت نوع ۱ در Zebrafish

اخیراً Zebrafish به عنوان یک مدل دیگر، برای شبیه‌سازی دیابت انسانی، مورد استقبال پژوهشگران قرار گرفته است. *zebrafish* (*Danio rerio*) یک ماهی از خانواده cyprinid آب شیرین است که دارای مزایای خاصی از جمله اندازه کوچک، نوزادهای زیاد، نگهداری آسان در آزمایشگاه و سازگاری برای غربالگری شیمیایی و ژنتیکی می‌باشد (۱۲۹). چندین پروتکل مشخص برای تعییر سطح گلوكز در Zebrafish های جنین و بالغ وجود دارد. ساده‌ترین روش برای افزایش سطح گلوكز خون و بافتی این حیوانات استفاده از محیط‌هایی با غلظت بالای گلوكز است. در این روش قرار گرفتن حیوانات در یک محیط با سطح گلوكز بالا (گلوكز بیش از ۴ درصد= بالاتر از ۲۰۰ mMol/L)، بعد از مدت دوماه منجر به هیپرگلیسمی می‌شود (۱۳۰).

با این وجود فقط مدل‌هایی که موجب اختلال کامل در تولید انسولین می‌شوند، دیابت نوع ۱ را القاء می‌کنند. از این‌رو برای رسیدن به خصوصیات متابولیکی بیماران دیابت و مدل‌سازی آنها گاهی ممکن است به روش‌های دیگری برای القای هیپرگلیسمی نیاز باشد. به عنوان نمونه بعد از تزریق داخل صفاقی STZ به Zebrafish های بالغ، سطح گلوكز ناشتا افزایش و میزان انسولین کاهش پیدا می‌کند (۱۳۱). Zebrafish هایی که از مدل‌های دیابت هستند که در اینده نزدیک به طور گستردگی مورد استفاده قرار می‌گیرند. در این نمونه‌ها چندین مسیر فیزیولوژیکی و پاتوفیزیولوژیکی مشترک با انسان و دیگر پستانداران مشخص شده است. در تحقیقات Zebrafish امکان دریافت تصویرهای ویژه و انجام سریع رویکردهای ژنتیکی و دارویی وجود دارد.

تعیین کننده اصلی در انتخاب مدل موردنظر این است که آیا الگوی خودایمنی این بیماری موردنیاز است یا خیر. از طرف دیگر در مدل‌های مختلف زمان شروع بیماری کاملاً متفاوت است و باید در هنگام انجام مطالعه مورد توجه واقع گردد.

یک موضوع مهم دیگر در انتخاب مدل مناسب این است که گونه‌ها و نژادهای مختلف دارای آمادگی متفاوتی در القا و درمان دیابت هستند. بنابراین در حالت ایده‌آل باید از بیش از یک گونه یا نژاد استفاده شود. علاوه بر اختلاف نژادی، تفاوت جنسیت نیز در انتخاب مدل مناسب مؤثر است. در برخی از مدل‌های ذکر شده در این مطالعه جنسیت نقش مهمی را در آمادگی برای القا دیابت ایفا می‌کند که البته

در انسان این پارامتر تأثیر کم‌رنگ‌تری در ابتلا به این بیماری دارد. مدل‌ها از نظر رابطه فیزیولوژیکی نیز با یکدیگر متفاوت هستند. برخی از آنها از نظر پیشرفت بیماری نسبت به بقیه شباهت بیشتری به مدل انسانی دارند. در برخی از این مدل‌ها بازسازی پانکراس بسیار شدید است و هنوز مشخص نیست که آیا مکانیسم گسترش سلول‌های بتا در این مدل‌ها می‌تواند مؤثر باشد یا خیر. به هر حال در انتخاب مدل حیوانی دیابت نوع ۱ مطلوب است که از مدل‌های مختلفی استفاده گردد تا در نهایت تنوع دیده شده در نمونه‌های انسانی نمایش داده شود.

برای القاء دیابت نوع ۱ و ۲ می‌توان از STZ و آلوکسان استفاده کرد. البته این مواد بیشتر موجب القای دیابت نوع ۱ می‌شوند زیرا نمی‌توانند به طور مستقل و مستقیم باعث مقاومت انسولینی (دیابت نوع ۲) گردند. مدل‌های دیگری مانند مدل STZ-نیکوتین آمید، STZ-رژیم غذایی چرب و STZ-فروکتوز معرفی شده است. علاوه بر این از آلوکسان و STZ برای القاء دیابت حاملگی نیز استفاده می‌شود. در بررسی حاضر مطالعات زیادی در رابطه با مدل‌های خودبینودی و شبیه‌یابی دیابت نوع ۱ ارایه گردید. هرکدام از مدل‌های القاء دیابت، دارای مزايا و معایبي هستند و هنوز تا رسیدن به حالت ایده‌آل فاصله دارند از اين رو مطالعات زیادی لازم است تا بتوان با استفاده از آن به مدل‌های مطلوب اين بیماری دست پیدا کرد. مدل‌های شبیه‌یابی القای با استفاده از چند دوز STZ می‌توانند به عنوان شبیه‌ترین مدل به دیابت نوع ۱ انسانی عمل نمایند. اين مدل از جهت تحريك سیستم ایمنی و نفوذ سلول‌های دفاعی به جزایر پانکراسی بسیار شبیه بیماری در انسان است. علاوه بر این در این مدل مرگ و میر نمونه‌های مورد مطالعه نسبت به روش‌های شبیه‌یابی دیگر به طور چشمگیری کاهش پیدا می‌کند.

### تشکر و قدردانی

این مقاله برگرفته از طرح دانشجویی دانشگاه علوم پژوهشی کرمانشاه می‌باشد. بدین‌وسیله نویسنده‌گان مرتب سپاس و قدردانی خود را از دانشگاه علوم پژوهشی کرمانشاه اعلام می‌نمایند.

در یک مطالعه STZ سه بار در روزهای متوالی به داخل حفره پریکارد لاروهای Zebrafish تزریق گردید. دو روز بعد از آخرین دوره تزریق سطح گلوكز در بافت‌ها به طور چشمگیری افزایش پیدا کرده و سیگنال‌های فلئورسنت در این‌موهیستوژنی نشان داد که بیان انسولین در مقایسه با گروه کنترل ضعیفتر می‌باشد (۱۳۸). همانطور که قبل از ذکر شد STZ و آلوکسان دارای مشخصات شبیه‌یابی مشابه با گلوكز هستند و به طور معمول برای القای دیابت مورد استفاده قرار می‌گیرند. به دلیل ناپایداری این مواد در محلول‌های آبی، آنها به صورت تزریقی مورد استفاده قرار می‌گیرند (۱۱۶).

### بحث

امروزه مطالعات آزمایشگاهی دیابت در انسان با مشکلات و موانع اخلاقی مواجه است و مدل‌های برون تن موجود دارای محدودیت و فاقد کارایی هستند. از این رو مدل‌های حیوانی متعددی برای شبیه‌سازی شرایط پاتولوژیکی این بیماری و آزمودن روش‌های درمانی جدید مورد توجه قرار گرفته‌اند. از طرف دیگر این دیدگاه وجود دارد که افزایش شیوع این بیماری در جهان باعث شده تا مدل‌های حیوانی موجود نقش مهمی را در کاهش پاتوژن و عوارض این بیماری مثل نوروپاتی و رتینوپاتی داشته باشند. همه مدل‌های حیوانی جوندگان اعم از موش صحرابی و موش، دارای مزايا و محدودیت‌هایی هستند. بنابراین لازم است که طراحی مدل‌های پیشرفته‌تر و مناسب تر این بیماری مورد توجه قرار بگیرد تا با استفاده از آن امکان تشخیص مکانیسم اساسی یا مداخلات مؤثر درمانی فراهم گردد. بهترین مدل دیابت باید دارای یک سری ویژگی‌های خاص باشد. از این ویژگی‌ها می‌توان به موارد زیر اشاره کرد:

پاتوژن کامل و جزئی دیابت انسانی را نشان دهد.

نسبت به داروهای آنتی دیابتی حساس باشد.

برای غربالگری داروهای معمول ضد دیابت مناسب باشد. آزمایشات مربوط به دیابت، سابقه طولانی و همچنین پیشرفت مداوم و متنوعی داشته است. اگرچه تنوع مدل‌های حیوانی ایجاد شده در پنجاه سال اخیر بسیار بالا بوده، اما مشخص شدن طبقه‌بندی و سودمندی آنها به دنبال فهم پاتوژن دیابت، ضایعات مربوطه و عوارض بعدی ثبت شده در این بیماری است. بنابراین هرکدام از مدل‌های موجود می‌توانند برای مطالعه جنبه‌ای از بیماری یا بررسی تأثیر یک روش درمانی بر آن، مورد استفاده قرار گیرند.

معیارهای انتخاب مدل مناسب برای دیابت در مطالعات مربوط به این بیماری، به اهداف موردنظر محقق از انجام مطالعه بستگی دارد. به عنوان مثال در یک مطالعه در رابطه با آزمایش اثرات یک دارو، مکانیسم احتمالی داروی مورد نظر در انتخاب مدل حیوانی مناسب نقش بسیار مهمی را بر عهده دارد. در مطالعات مربوط به دیابت نوع ۱

## References

1. Consultation W. Definition, diagnosis and classification of diabetes mellitus and its complications. Part; 1999.
2. Wondafrash DZ, Desalegn TZ, Yimer EM, Tsige AG, Adamu BA, Zewdie KA. Potential effect of hydroxychloroquine in diabetes mellitus: a systematic review on preclinical and clinical trial studies. *Journal of Diabetes Research* 2020;2020. doi: [10.1155/2020/5214751](https://doi.org/10.1155/2020/5214751)
3. Chatzigeorgiou A, Halapas A, Kalafatakis K, Kamper E. The use of animal models in the study of diabetes mellitus. *In vivo*. 2009;23:245-58.
4. Cefalu WT. Animal models of type 2 diabetes: clinical presentation and pathophysiological relevance to the human condition. *ILAR Journal* 2006;47:186-98. doi: [10.1093/ilar.47.3.186](https://doi.org/10.1093/ilar.47.3.186)
5. Hyttinen V, Kaprio J, Kinnunen L, Koskenvuo M, Tuomilehto J. Genetic liability of type 1 diabetes and the onset age among 22,650 young Finnish twin pairs: a nationwide follow-up study. *Diabetes* 2003;52:1052-5. doi: [10.2337/diabetes.52.4.1052](https://doi.org/10.2337/diabetes.52.4.1052)
6. King AJ. The use of animal models in diabetes research. *British Journal of Pharmacology* 2012;166:877-94. doi: [10.1111/j.1476-5381.2012.01911.x](https://doi.org/10.1111/j.1476-5381.2012.01911.x)
7. Care D. Economic costs of diabetes in the US in 2012. 2013.
8. Khazaei M, Ansarian A, Ghanbari E. New findings on biological actions and clinical applications of royal jelly: a review. *Journal of Dietary Supplements* 2018;15:757-75. doi: [10.1080/19390211.2017.1363843](https://doi.org/10.1080/19390211.2017.1363843)
9. Kaplan JR, Wagner JD. Type 2 diabetes—an introduction to the development and use of animal models. *ILAR Journal* 2006;47:181-5. doi: [10.1093/ilar.47.3.181](https://doi.org/10.1093/ilar.47.3.181)
10. Rees D, Alcolado J. Animal models of diabetes mellitus. *Diabetic Medicine* 2005;22:359-70. doi: [10.1111/j.1464-5491.2005.01499.x](https://doi.org/10.1111/j.1464-5491.2005.01499.x)
11. Lukačínová A, Hubková B, Rácz O, Ništiar F. Animal models for study of diabetes mellitus. *Diabetes Mellitus-Insights and Perspectives* 2013;229-54.
12. Acharjee S, Ghosh B, Al-Dhubiab BE, Nair AB. Understanding type 1 diabetes: etiology and models. *Canadian Journal of Diabetes* 2013;37:269-76. doi: [10.1016/j.cjcd.2013.05.001](https://doi.org/10.1016/j.cjcd.2013.05.001)
13. Al-Awar A, Kupai K, Veszelka M, Szűcs G, Attieh Z, Murlasits Z, et al. Experimental diabetes mellitus in different animal models. *Journal of Diabetes Research* 2016;2016. doi: [10.1155/2016/9051426](https://doi.org/10.1155/2016/9051426)
14. Yoon JW, Jun HS. Cellular and molecular pathogenic mechanisms of insulin-dependent diabetes mellitus. *Annals of the New York Academy of Sciences* 2001;928:200-11. doi: [10.1111/j.1749-6632.2001.tb05650.x](https://doi.org/10.1111/j.1749-6632.2001.tb05650.x)
15. Mathews CE. Utility of murine models for the study of spontaneous autoimmune type 1 diabetes. *Pediatric Diabetes* 2005;6:165-77. doi: [10.1111/j.1399-543X.2005.00123.x](https://doi.org/10.1111/j.1399-543X.2005.00123.x)
16. Atkinson MA, Leiter EH. The NOD mouse model of type 1 diabetes: as good as it gets? *Nature Medicine* 1999;5:601-4. doi: [10.1038/9442](https://doi.org/10.1038/9442)
17. Baxter AG, Duckworth RC. Models of type 1 (autoimmune) diabetes. *Drug Discovery Today: Disease Models* 2004;1:451-5. doi: [10.1016/j.ddmod.2004.11.012](https://doi.org/10.1016/j.ddmod.2004.11.012)
18. Pearson JA, Wong FS, Wen L. The importance of the Non Obese Diabetic (NOD) mouse model in autoimmune diabetes. *Journal of Autoimmunity* 2016;66:76-88. doi: [10.1016/j.jaut.2015.08.019](https://doi.org/10.1016/j.jaut.2015.08.019)
19. Yang Y, Santamaria P. Lessons on autoimmune diabetes from animal models. *Clinical Science* 2006;110:627-39. doi: [10.1042/CS20050330](https://doi.org/10.1042/CS20050330)
20. Singal D, Blajchman M. Histocompatibility (HL-A) antigens, lymphocytotoxic antibodies and tissue antibodies in patients with diabetes mellitus. *Diabetes* 1973;22:429-32. doi: [10.2337/diab.22.6.429](https://doi.org/10.2337/diab.22.6.429)
21. Nerup J, Platz P, Andersen OO, Christy M, Lyngsøe J, Poulsen J, et al. HL-A antigens and diabetes mellitus. *The Lancet* 1974;304:864-6. doi: [10.1016/S0140-6736\(74\)91201-X](https://doi.org/10.1016/S0140-6736(74)91201-X)
22. Noble JA, Erlich HA. Genetics of type 1 diabetes. *Cold Spring Harbor Perspectives in Medicine* 2012;2:a007732. doi: [10.1101/cshperspect.a007732](https://doi.org/10.1101/cshperspect.a007732)
23. von Herrath M, Filippi C, Coppelters K. How viral infections enhance or prevent type 1 diabetes—from mouse to man. *Journal of Medical Virology* 2011;83:1672-. doi: [10.1002/jmv.22063](https://doi.org/10.1002/jmv.22063)
24. Roep BO, Atkinson M, von Herrath M. Satisfaction (not) guaranteed: re-evaluating the use of animal models of type 1 diabetes. *Nature Reviews Immunology* 2004;4:989-97. doi: [10.1038/nri1502](https://doi.org/10.1038/nri1502)
25. Wicker LS, Chamberlain G, Hunter K, Rainbow D, Howlett S, Tiffen P, et al. Fine mapping, gene content, comparative sequencing, and expression analyses support Ctna4 and Nramp1 as candidates for Idd5. 1 and Idd5. 2 in the nonobese diabetic mouse. *The Journal of Immunology* 2004;173:164-73. doi: [10.4049/jimmunol.173.1.164](https://doi.org/10.4049/jimmunol.173.1.164)
26. Yang Y, Santamaria P. Dissecting autoimmune diabetes through genetic manipulation of non-obese diabetic mice. *Diabetologia* 2003;46:1447-64. doi: [10.1007/s00125-003-1218-1](https://doi.org/10.1007/s00125-003-1218-1)
27. King M, Pearson T, Rossini AA, Shultz LD, Greiner DL. Humanized mice for the study of type 1 diabetes and beta cell function. *Annals of the New York Academy of Sciences* 2008;1150:46. doi: [10.1196/annals.1447.009](https://doi.org/10.1196/annals.1447.009)
28. Kayo T, Koizumi A. Mapping of murine diabetogenic gene mody on chromosome 7 at D7Mit258 and its involvement in pancreatic islet and beta cell development during the perinatal period. *The Journal of Clinical Investigation* 1998;101:2112-8. doi: [10.1172/JCI1842](https://doi.org/10.1172/JCI1842)
29. Mathews CE, Langley SH, Leiter EH. New mouse model to study islet transplantation in insulin-dependent diabetes mellitus. *Transplantation* 2002;73:1333-6. doi: [10.1097/00007890-200204270-00024](https://doi.org/10.1097/00007890-200204270-00024)
30. Yoshioka M, Kayo T, Ikeda T, Koizumi A. A novel locus, Mody4, distal to D7Mit189 on chromosome 7 determines early-onset NIDDM in nonobese C57BL/6 (Akita) mutant mice. *Diabetes* 1997;46:887-94. doi: [10.2337/diab.46.5.887](https://doi.org/10.2337/diab.46.5.887)
31. Hong E-G, Jung DY, Ko HJ, Zhang Z, Ma Z, Jun JY, et al. Nonobese, insulin-deficient Ins2Akita mice develop type 2 diabetes phenotypes including insulin resistance and cardiac remodeling. *American Journal of Physiology-Endocrinology and Metabolism* 2007;293:E1687-E196. doi: [10.1152/ajpendo.00256.2007](https://doi.org/10.1152/ajpendo.00256.2007)
32. Hemmeryckx B, Gaekens M, Gallacher DJ, Lu HR, Lijnen HR. Effect of rosiglitazone on liver structure and function in genetically diabetic Akita mice. *Basic & Clinical Pharmacology & Toxicology* 2013;113:353-60. doi: [10.1111/bcpt.12104](https://doi.org/10.1111/bcpt.12104)
33. Wang J, Takeuchi T, Tanaka S, Kubo S-K, Kayo T, Lu D, et al. A mutation in the insulin 2 gene induces diabetes with severe pancreatic β-cell dysfunction in the Mody mouse. *The Journal of Clinical Investigation* 1999;103:27-37. doi: [10.1172/JCI4431](https://doi.org/10.1172/JCI4431)
34. Undi R, Lim H-Y, Wang W. Rapid and reliable identification of insulin 2 gene mutation in Akita diabetic mice by a tetra-primer-ARMS-PCR method. *Heliyon* 2019;5:e01112. doi: [10.1016/j.heliyon.2018.e01112](https://doi.org/10.1016/j.heliyon.2018.e01112)
35. Barber AJ, Antonetti DA, Kern TS, Reiter CE, Soans RS, Krady JK, et al. The Ins2Akita mouse as a model of early retinal complications in diabetes. *Investigative Ophthalmology & Visual Science* 2005;46:2210-8. doi: [10.1167/iovs.04-1340](https://doi.org/10.1167/iovs.04-1340)
36. Gastinger MJ, Kunselman AR, Conboy EE, Bronson SK, Barber AJ. Dendrite remodeling and other abnormalities in the retinal ganglion cells of Ins2Akita diabetic mice. *Investigative Ophthalmology & Visual Science* 2008;49:2635-42. doi: [10.1167/iovs.07-0683](https://doi.org/10.1167/iovs.07-0683)

37. Luger D, Silver PB, Tang J, Cua D, Chen Z, Iwakura Y, et al. Either a Th17 or a Th1 effector response can drive autoimmunity: conditions of disease induction affect dominant effector category. *The Journal of Experimental Medicine* 2008;205:799-810. doi: 10.1084/jem.20071258
38. Marliss EB, Nakhooda AF, Poussier P. Clinical forms and natural history of the diabetic syndrome and insulin and glucagon secretion in the BB rat. *Metabolism* 1983;32:11-7. doi: 10.1016/S0026-0495(83)80005-5
39. Rossini AA, Williams RM, Mordes JP, Appel MC, Like AA. Spontaneous diabetes in the gnotobiotic BB/W rat. *Diabetes* 1979;28:1031-2. doi: 10.2337/diab.28.11.1031
40. Lam-Tse W, Lernmark A, Drexhage H, editors. Animal models of endocrine/organ-specific autoimmune diseases: do they really help us to understand human autoimmunity? Springer Seminars in Immunopathology; 2002: Springer. doi.org/10.1007/s00281-002-0110-2
41. Bone A, Hitchcock P, Gwilliam D, Cunningham J, Barley J. Insulitis and mechanisms of disease resistance: studies in an animal model of insulin dependent diabetes mellitus. *Journal of Molecular Medicine* 1999;77:57-61. doi: 10.1007/s001090050301
42. Mordes JP, Bortell R, Blankenhorn EP, Rossini AA, Greiner DL. Rat models of type 1 diabetes: genetics, environment, and autoimmunity. *Ilar Journal* 2004;45:278-91. doi: 10.1093/ilar.45.3.278
43. Pociot F, McDermott M. Genetics of type 1 diabetes mellitus. *Genes & Immunity* 2002;3:235-49. doi: 10.1038/sj.gene.6363875
44. Lenzen S, Tiedge M, Elsner M, Lortz S, Weiss H, Jörns A, et al. The LEW. 1AR1/Ztm-iddm rat: a new model of spontaneous insulin-dependent diabetes mellitus. *Diabetologia* 2001;44:1189-96. doi:10.1007/s001250100625
45. Jörns A, Günther A, Hedrich H-J, Wedekind D, Tiedge M, Lenzen S. Immune cell infiltration, cytokine expression, and  $\beta$ -cell apoptosis during the development of type 1 diabetes in the spontaneously diabetic LEW. 1AR1/Ztm-iddm rat. *Diabetes* 2005;54:2041-52. doi: 10.2337/diabetes.54.7.2041
46. Peschke E, Hofmann K, Bähr I, Streck S, Albrecht E, Wedekind D, et al. The insulin-melatonin antagonism: studies in the LEW. 1AR1-iddm rat (an animal model of human type 1 diabetes mellitus). *Diabetologia* 2011;54:1831-40. doi: 10.1007/s00125-011-2138-0
47. Arndt T, Wedekind D, Weiss H, Tiedge M, Lenzen S, Hedrich H-J, et al. Prevention of spontaneous immune-mediated diabetes development in the LEW. 1AR1-iddm rat by selective CD8+ T cell transfer is associated with a cytokine shift in the pancreas-draining lymph nodes. *Diabetologia* 2009;52:1381-90. doi: 10.1007/s00125-009-1348-1
48. Jörns A, Kubat B, Tiedge M, Wedekind D, Hedrich H-J, Klöppel G, et al. Pathology of the pancreas and other organs in the diabetic LEW. 1AR1/Ztm-iddm rat, a new model of spontaneous insulin-dependent diabetes mellitus. *Virchows Archiv* 2004;444:183-9. doi: 10.1007/s00428-003-0956-2
49. Arndt T, Jörns A, Hedrich HJ, Lenzen S, Wedekind D. Variable immune cell frequencies in peripheral blood of LEW. 1 AR 1-iddm rats over time compared to other congenic LEW strains. *Clinical & Experimental Immunology* 2014;177:168-78. doi: 10.1111/cei.12323
50. Weiss H, Bleich A, Hedrich H-J, Kölsch B, Elsner M, Jörns A, et al. Genetic analysis of the LEW. 1AR1-iddm rat: an animal model for spontaneous diabetes mellitus. *Mammalian Genome* 2005;16:432-41. doi: 10.1007/s00335-004-3022-8
51. Arndt T, Jörns A, Weiss H, Tiedge M, Hedrich H-J, Lenzen S, et al. A variable CD3+ T-cell frequency in peripheral blood lymphocytes associated with type 1 diabetes mellitus development in the LEW. 1AR1-iddm rat. *PLoS One* 2013;8:e64305. doi:10.1371/journal.pone.0064305
52. Wedekind D, Weiss H, Jörns A, Lenzen S, Tiedge M, Hedrich H-J. Effects of polyinosinic-polycytidylc acid and adoptive transfer of immune cells in the Lew. 1AR1-iddm rat and in its coisogenic LEW. 1AR1 background strain. *Autoimmunity* 2005;38:265-75. doi: 10.1080/08916930500114321
53. Kawano K, Hirashima T, Mori S, Saitoh Y, Kurosumi M, Natori T. New inbred strain of Long-Evans Tokushima lean rats with IDDM without lymphopenia. *Diabetes* 1991;40:1375-81. doi: 10.2337/diab.40.11.1375
54. Komeda K, Noda M, Terao K, Kuzuya N, Kanazawa M, Kanazawa Y. Establishment of two substrains, diabetes-prone and non-diabetic, from Long-Evans Tokushima Lean (LET) rats. *Endocrine Journal* 1998;45:737-44. doi: 10.1507/endocrj.45.737
55. Kriz J, Girman P, Berkova Z, Marada T. The Transplantation of Insulin Producing Tissue. *Rat Experimental Transplantation Surgery*: Springer; 2015.p.163-98.
56. Christopher RJ, Takeuchi K, Lee B. Rodent models of diabetes. *Principles of diabetes mellitus*: Springer; 2010.p.165-78.
57. Yokoi N, Komeda K, Wang H-Y, Yano H, Kitada K, Saitoh Y, et al. Cblb is a major susceptibility gene for rat type 1 diabetes mellitus. *Nature Genetics* 2002;31:391-4.
58. Yokoi N, Namae M, Fuse M, Wang H-Y, Hirata T, Seino S, et al. Establishment and characterization of the Komeda diabetes-prone rat as a segregating inbred strain. *Experimental Animals* 2003;52:295-301. doi: 10.1538/expanim.52.295
59. Jörns A, Arndt T, Zu Vilsendorf AM, Klempnauer J, Wedekind D, Hedrich H-J, et al. Islet infiltration, cytokine expression and beta cell death in the NOD mouse, BB rat, Komeda rat, LEW. 1AR1-iddm rat and humans with type 1 diabetes. *Diabetologia* 2014;57:512-21. doi: 10.1007/s00125-013-3125-4
60. King A. Animal models of type 1 and type 2 diabetes mellitus. *Animal models for the study of human disease*: Elsevier; 2017.p. 245-65. doi: 10.1016/B978-0-12-809468-6.00010-3
61. Lenzen S. The mechanisms of alloxan-and streptozotocin-induced diabetes. *Diabetologia* 2008;51:216-26. doi:10.1007/s00125-007-0886-7
62. Federiuk IF, Casey HM, Quinn MJ, Wood MD, Ward KW. Induction of type-1 diabetes mellitus in laboratory rats by use of alloxan: route of administration, pitfalls, and insulin treatment. *Comparative Medicine* 2004;54:252-7.
63. Dufrane D, van Steenberghe M, Guiot Y, Goebbel R-M, Saliez A, Gianello P. Streptozotocin-induced diabetes in large animals (pigs/primates): role of GLUT2 transporter and  $\beta$ -cell plasticity. *Transplantation* 2006;81:36-45. doi: 10.1097/01.tp.0000189712.74495.82
64. Tyrberg B, Andersson A, Borg LH. Species differences in susceptibility of transplanted and cultured pancreatic islets to the  $\beta$ -cell toxin alloxan. *General and Comparative Endocrinology* 2001;122:238-51. doi: 10.1006/gcen.2001.7638
65. Pandey S, Dvorakova MC. Future Perspective of Diabetic Animal Models. *Endocrine, Metabolic & Immune Disorders-Drug Targets (Formerly Current Drug Targets-Immune, Endocrine & Metabolic Disorders)* 2020;20:25-38. doi: 10.2174/187153031966190626143832
66. Szkudelski T. The mechanism of alloxan and streptozotocin action in B cells of the rat pancreas. *Physiological Research* 2001;50:537-46.
67. Ghasemi A, Khalifi S, Jedi S. Streptozotocin-nicotinamide-induced rat model of type 2 diabetes. *Acta Physiologica Hungarica* 2014;101:408-20. doi: 10.1556/APhysiol.101.2014.4.2
68. Ventura-Sobrevilla J, Boone-Villa V, Aguilar C, Román-Ramos R, Vega-Avila E, Campos-Sepúlveda E, et al., editors. Effect of varying dose and administration of streptozotocin on blood sugar in male CD1 mice. *Proc West Pharmacol Soc*;2011.

69. Deeds M, Anderson J, Armstrong A, Gastineau D, Hiddinga H, Jahangir A, et al. Single dose streptozotocin-induced diabetes: considerations for study design in islet transplantation models. *Laboratory Animals* 2011;45:131-40. doi: [10.1258/la.2010.010090](https://doi.org/10.1258/la.2010.010090)
70. Sakata N, Yoshimatsu G, Tsuchiya H, Egawa S, Unno M. Animal models of diabetes mellitus for islet transplantation. *Experimental diabetes Research* 2012;2012. doi:[10.1155/2012/256707](https://doi.org/10.1155/2012/256707)
71. Tesch GH, Allen TJ. Rodent models of streptozotocin-induced diabetic nephropathy (Methods in Renal Research). *Nephrology* 2007;12:261-6. doi: [10.1111/j.1440-1797.2007.00796.x](https://doi.org/10.1111/j.1440-1797.2007.00796.x)
72. Wei M, Ong L, Smith MT, Ross FB, Schmid K, Hoey AJ, et al. The streptozotocin-diabetic rat as a model of the chronic complications of human diabetes. *Heart, Lung and Circulation* 2003;12:44-50. doi: [10.1046/j.1444-2892.2003.00160.x](https://doi.org/10.1046/j.1444-2892.2003.00160.x)
73. Karunaratne E, Baker J, Christian R, Hearse D, Mellows G. Autoradiographic study of the distribution and cellular uptake of (<sup>14</sup>C)-streptozotocin in the rat. *Diabetologia* 1976;12:123-8. doi:[10.1007/BF00428976](https://doi.org/10.1007/BF00428976)
74. Tjalve H, Wilander E, Johansson E-B. Distribution of labelled streptozotocin in mice: uptake and retention in pancreatic islets. *Journal of Endocrinology* 1976;69:455-NP. doi: [10.1677/joe.0.0690455](https://doi.org/10.1677/joe.0.0690455)
75. Elsner M, Guldbakke B, Tiedge M, Munday R, Lenzen S. Relative importance of transport and alkylation for pancreatic beta-cell toxicity of streptozotocin. *Diabetologia* 2000;43:1528-33. doi: [10.1007/s001250051564](https://doi.org/10.1007/s001250051564)
76. Weiss RB. Streptozocin: a review of its pharmacology, efficacy, and toxicity. *Cancer Treat Rep* 1982;66:427-38.
77. Bouwens L, Rooman I. Regulation of pancreatic beta-cell mass. *Physiological Reviews* 2005;85:1255-70. doi: [10.1152/physrev.00025.2004](https://doi.org/10.1152/physrev.00025.2004)
78. Wang Z, Gleichmann H. GLUT2 in pancreatic islets: crucial target molecule in diabetes induced with multiple low doses of streptozotocin in mice. *Diabetes* 1998;47:50-6. doi: [10.2337/diab.47.1.50](https://doi.org/10.2337/diab.47.1.50)
79. Bennett RA, Pegg AE. Alkylation of DNA in rat tissues following administration of streptozotocin. *Cancer Research* 1981;41:2786-90.
80. Bedoya F, Solano F, Lucas M. N-monomethyl-arginine and nicotinamide prevent streptozotocin-induced double strand DNA break formation in pancreatic rat islets. *Experientia* 1996;52:344-7. doi: [10.1007/BF01919538](https://doi.org/10.1007/BF01919538)
81. Turk J, Corbett JA, Ramanadham S, Bohrer A, McDaniel ML. Biochemical evidence for nitric oxide formation from streptozotocin in isolated pancreatic islets. *Biochemical and Biophysical Research Communications* 1993;197:1458-64. doi: [10.1006/bbrc.1993.2641](https://doi.org/10.1006/bbrc.1993.2641)
82. Sofue M, Yoshimura Y, Nishida M, Kawada J. Uptake of nicotinamide by rat pancreatic β cells with regard to streptozotocin action. *Journal of Endocrinology* 1991;131:135-8. doi: [10.1677/joe.0.1310135](https://doi.org/10.1677/joe.0.1310135)
83. von Wilmowsky C, Stockmann P, Harsch I, Amann K, Metzler P, Lutz R, et al. Diabetes mellitus negatively affects peri-implant bone formation in the diabetic domestic pig. *Journal of Clinical Periodontology* 2011;38:771-9. doi: [10.1111/j.1600-051X.2011.01746.x](https://doi.org/10.1111/j.1600-051X.2011.01746.x)
84. Tahara A, Kurosaki E, Yokono M, Yamajuku D, Kihara R, Hayashizaki Y, et al. Antidiabetic effects of SGLT2-selective inhibitor ipragliflozin in streptozotocin-nicotinamide-induced mildly diabetic mice. *Journal of Pharmacological Sciences* 2012;12089FP. doi: [10.1254/jphs.12089FP](https://doi.org/10.1254/jphs.12089FP)
85. Veeranjaneyulu C, Subrahmanyam G. Rediscovered the induction of diabetogenic agents in the experimental animal modeL. 2016.
86. Wu KK, Huan Y. Diabetic atherosclerosis mouse models. *Atherosclerosis* 2007;191:241-9. doi: [10.1016/j.atherosclerosis.2006.08.030](https://doi.org/10.1016/j.atherosclerosis.2006.08.030)
87. Gvazava I, Kosykh A, Rogovaya O, Popova O, Sobyanin K, Khrushchev A, et al. A Simplified Streptozotocin-Induced Diabetes Model in Nude Mice. *Acta Naturae* 2020;12:98. doi: [10.32607/actanaturae.11202](https://doi.org/10.32607/actanaturae.11202)
88. Ziegler M, Ziegler B, Hehmke B. Severe hyperglycaemia caused by autoimmunization to β cells in rats. *Diabetologia* 1984;27:163-5. doi: [10.1007/BF00275679](https://doi.org/10.1007/BF00275679)
89. Furman BL. Streptozotocin-induced diabetic models in mice and rats. *Current Protocols in Pharmacology* 2015;70:5.47. 1-5. 20. doi: [10.1002/0471141755.ph0547s70](https://doi.org/10.1002/0471141755.ph0547s70)
90. Troullinaki M, Chen LS, Witt A, Pyrina I, Phieler J, Kourtzelis I, et al. Robo4-mediated pancreatic endothelial integrity decreases inflammation and islet destruction in autoimmune diabetes. *The FASEB Journal* 2020;34:3336-46. doi: [10.1096/fj.201900125RR](https://doi.org/10.1096/fj.201900125RR)
91. Ammon H. Boswellic extracts and 11-keto-β-boswellic acids prevent type 1 and type 2 diabetes mellitus by suppressing the expression of proinflammatory cytokines. *Phytomedicine* 2019;63:153002. doi: [10.1016/j.phymed.2019.153002](https://doi.org/10.1016/j.phymed.2019.153002)
92. Like AA, Rossini AA. Streptozotocin-induced pancreatic insulitis: new model of diabetes mellitus. *Science* 1976;193:415-7. doi: [10.1126/science.180605](https://doi.org/10.1126/science.180605)
93. Huang F, Wu W. Antidiabetic effect of a new peptide from Squalus mitsukurii liver (S-8300) in streptozocin-induced diabetic mice. *Journal of Pharmacy and Pharmacology* 2005;57:1575-80. doi: [10.1211/jpp.57.12.0007](https://doi.org/10.1211/jpp.57.12.0007)
94. Brøndum E, Nilsson H, Aalkjaer C. Functional abnormalities in isolated arteries from Goto-Kakizaki and streptozotocin-treated diabetic rat models. *Hormone and Metabolic Research* 2005;37:56-60. doi: [10.1055/s-2005-861370](https://doi.org/10.1055/s-2005-861370)
95. Patterson E, Marques TM, O'Sullivan O, Fitzgerald P, Fitzgerald GF, Cotter PD, et al. Streptozotocin-induced type-1-diabetes disease onset in Sprague-Dawley rats is associated with an altered intestinal microbiota composition and decreased diversity. *Microbiology* 2015;161:182-93. doi: [10.1099/mic.0.082610-0](https://doi.org/10.1099/mic.0.082610-0)
96. Abeeleh MA, Ismail ZB, Alzaben KR, Abu-Halaweh SA, Al-Essa MK, Abuabeel J, et al. Induction of diabetes mellitus in rats using intraperitoneal streptozotocin: a comparison between 2 strains of rats. *Eur J Sci Res* 2009;32:398-402.
97. Matsunami T, Sato Y, Hasegawa Y, Ariga S, Kashimura H, Sato T, et al. Enhancement of reactive oxygen species and induction of apoptosis in streptozotocin-induced diabetic rats under hyperbaric oxygen exposure. *International Journal of Clinical and Experimental Pathology* 2011;4:255.
98. Lee JY, Lee FY, Huo TI, Wang SS, Huang HC, Lin HC, et al. Diabetes enhances the intrahepatic vascular response to endothelin-1 in cirrhotic rats: association with the ETA receptor and pERK up-regulation. *Liver International* 2015;35:704-12. doi: [10.1111/liv.12527](https://doi.org/10.1111/liv.12527)
99. Prabowo S, Nataatmadja M, Hadi JP, Dikman I, Handajani F, Tehupuring SE, et al. Hyperbaric Oxygen Treatment in a diabetic rat model is associated with a decrease in blood glucose, regression of organ damage and improvement in wound healing. *Health* 2014;2014. doi: [10.4236/health.2014.615228](https://doi.org/10.4236/health.2014.615228)
100. Aleeva G, Kiyasov A, Minnebaev M, Burykin I, Khafiz'yanova RK. Changes in the Count of Pancreatic b-and a-Cells and Blood Glucose Level in Rats with Alloxan-Induced Diabetes. *Bulletin of experimental Biology and Medicine* 2002;133:127. doi: [10.1023/A:1015578201402](https://doi.org/10.1023/A:1015578201402)
101. Mathews CE, Leiter EH. Constitutive differences in antioxidant defense status distinguish alloxan-resistant and alloxan-susceptible mice. *Free Radical Biology and Medicine* 1999;27:449-55. doi: [10.1016/S0891-5849\(99\)00084-2](https://doi.org/10.1016/S0891-5849(99)00084-2)
102. Dunn JS, McLetchie N. Experimental alloxan diabetes in the rat. *The Lancet* 1943;242:384-7. doi: [10.1016/S0140-6736\(00\)87397-3](https://doi.org/10.1016/S0140-6736(00)87397-3)

103. Goros FK, Malaisse WJ, Pipeleers DG. Selective uptake of alloxan by pancreatic B-cells. *Biochemical Journal* 1982;208:513. doi: [10.1042/bj2080513](https://doi.org/10.1042/bj2080513)
104. Elsner M, Tiedge M, Guldbakke B, Munday R, Lenzen S. Importance of the GLUT2 glucose transporter for pancreatic beta cell toxicity of alloxan. *Diabetologia* 2002;45:1542-9. doi: [10.1007/s00125-002-0955-x](https://doi.org/10.1007/s00125-002-0955-x)
105. Malaisse WJ, Doherty M, Ladriere L, Malaisse-Lagae F. Pancreatic uptake of [2-14C] alloxan. *International Journal of Molecular Medicine* 2001;7:311-5. doi: [10.3892/ijmm.7.3.311](https://doi.org/10.3892/ijmm.7.3.311)
106. Bloch KO, Zemel R, Bloch OV, Grief H, Vardi P. Streptozotocin and alloxan-based selection improves toxin resistance of insulin-producing RINm cells. *International Journal of Experimental Diabetes Research* 2000;1:211-9. doi: [10.1155/EDR.2000.211](https://doi.org/10.1155/EDR.2000.211)
107. Macdonald Ighodaro O, Mohammed Adeosun A, Adeboye Akinloye O. Alloxan-induced diabetes, a common model for evaluating the glycemic-control potential of therapeutic compounds and plants extracts in experimental studies. *Medicina* 2017;53:365-74. doi: [10.1016/j.medici.2018.02.001](https://doi.org/10.1016/j.medici.2018.02.001)
108. Lenzen S, Mirzaei-Petri M. Inhibition of aconitase by alloxan and the differential modes of protection of glucose, 3-O-methylglucose, and mannoheptulose. *Naunyn-Schmiedeberg's Archives of Pharmacology* 1992;346:532-6. doi: [10.1007/BF00169009](https://doi.org/10.1007/BF00169009)
109. Weaver DC, Barry DC, McDaniel ML, Marshall GR, Lacy PE. Molecular requirements for recognition at a glucoreceptor for insulin release. *Molecular Pharmacology* 1979;16:361-8.
110. Garland P, Randle P, Newsholme E. Citrate as an intermediary in the inhibition of phosphofructokinase in rat heart muscle by fatty acids, ketone bodies, pyruvate, diabetes and starvation. *Nature* 1963;200:169-70. doi: [10.1038/200169a0](https://doi.org/10.1038/200169a0)
111. Colca J, Brooks CL, Landt M, McDANIEL ML. Correlation of Ca<sup>2+</sup>-and calmodulin-dependent protein kinase activity with secretion of insulin from islets of Langerhans. *Biochemical Journal* 1983;212:819-27. doi: [10.1042/bj2120819](https://doi.org/10.1042/bj2120819)
112. Tiedge M, Elsner M, McClenaghan NH, Hedrich H-J, Grube D, Klempnauer J, et al. Engineering of a glucose-responsive surrogate cell for insulin replacement therapy of experimental insulin-dependent diabetes. *Human Gene Therapy* 2000;11:403-14. doi: [10.1089/10430340050015879](https://doi.org/10.1089/10430340050015879)
113. Borg LH, Eide SJ, Andersson A, Hellerström C. Effects in vitro of alloxan on the glucose metabolism of mouse pancreatic B-cells. *Biochemical Journal* 1979;182:797-802. doi: [10.1042/bj1820797](https://doi.org/10.1042/bj1820797)
114. Lenzen S, Panten U. Signal recognition by pancreatic B-cells. *Biochemical Pharmacology* 1988;37:371-8. doi: [10.1016/0006-2952\(88\)90201-8](https://doi.org/10.1016/0006-2952(88)90201-8)
115. Niki A, Niki H, Miwa I, Lin BJ. Interaction of alloxan and anomers of D-glucose on glucose-induced insulin secretion and biosynthesis in vitro. *Diabetes* 1976;25:574-9. doi: [10.2337/db.25.7.574](https://doi.org/10.2337/db.25.7.574)
116. Lenzen S, Munday R. Thiol-group reactivity, hydrophilicity and stability of alloxan, its reduction products and its N-methyl derivatives and a comparison with ninhydrin. *Biochemical Pharmacology* 1991;42:1385-91. doi: [10.1016/0006-2952\(91\)90449-F](https://doi.org/10.1016/0006-2952(91)90449-F)
117. Martens H, Goxe B, Geenen V. The thymic repertoire of neuroendocrine self-antigens: physiological implications in T-cell life and death. *Immunology Today* 1996;17:312-7. doi: [10.1016/0167-5699\(96\)10023-2](https://doi.org/10.1016/0167-5699(96)10023-2)
118. Vafiadis P, Bennett ST, Todd JA, Nadeau J, Grabs R, Goodyer CG, et al. Insulin expression in human thymus is modulated by INS VNTR alleles at the IDDM2 locus. *Nature Genetics* 1997;15:289-92. doi: [10.1038/ng0397-289](https://doi.org/10.1038/ng0397-289)
119. Pugliese A, Zeller M, Fernandez A, Zalcberg LJ, Bartlett RJ, Ricordi C, et al. The insulin gene is transcribed in the human thymus and transcription levels correlate with allelic variation at the INS VNTR-IDDM2 susceptibility locus for type 1 diabetes. *Nature Genetics* 1997;15:293-7. doi: [10.1038/ng0397-293](https://doi.org/10.1038/ng0397-293)
120. Throsby M, Homo-Delarche Fo, Chevenne D, Goya R, Dardenne M, Pleau J-M. Pancreatic hormone expression in the murine thymus: localization in dendritic cells and macrophages. *Endocrinology* 1998;139:2399-406. doi: [10.1210/endo.139.5.5989](https://doi.org/10.1210/endo.139.5.5989)
121. Novoselova E, Khrenov M, Glushkova O, Lunin S, Parfenyuk S, Novoselova T, et al. Anti-inflammatory effects of IKK inhibitor XII, thymulin, and fat-soluble antioxidants in LPS-treated mice. *Mediators of Inflammation* 2014;2014. doi: [10.1155/2014/724838](https://doi.org/10.1155/2014/724838)
122. Geenen V. Thymus and type 1 diabetes: an update. *Diabetes research and clinical practice* 2012;98:26-32. doi: [10.1016/j.diabres.2012.05.023](https://doi.org/10.1016/j.diabres.2012.05.023)
123. Novoselova EG, Glushkova OV, Lunin SM, Khrenov MO, Novoselova TV, Parfenyuk SB, et al. Signaling, stress response and apoptosis in pre-diabetes and diabetes: restoring immune balance in mice with alloxan-induced type 1 diabetes mellitus. *International Immunopharmacology* 2016;31:24-31. doi: [10.1016/j.intimp.2015.11.007](https://doi.org/10.1016/j.intimp.2015.11.007)
124. Widiastuti E, Ardiansyah B, Nurcahyani N, Silvinia A, editors. *Antidiabetic Potency of Jeruju (Acanthus ilicifolius L.) Ethanol Extract and Taurine on Histopathological Response of Mice Kidney (Mus musculus L.) Induced by Alloxan*. *Journal of Physics: Conference Series*; 2021: IOP Publishing. doi: [10.1088/1742-6596/1751/1/012052](https://doi.org/10.1088/1742-6596/1751/1/012052)
125. Bouzghaya S, Amri M, Homblé F. Improvement of diabetes symptoms and complications by an aqueous extract of *Linum usitatissimum* (L.) seeds in alloxan-induced diabetic mice. *Journal of Medicinal Food* 2020;23:1077-82. doi: [10.1089/jmf.2019.0205](https://doi.org/10.1089/jmf.2019.0205)
126. Shi Y, Wang X, Deng X, Tian R, Zhang Y, Shang Q, et al. Release profile of insulin from pH-sensitive hydrogel and its hypoglycemic effect by oral administration. *Journal of Biomaterials Science, Polymer Edition* 2016;27:86-96. doi: [10.1080/09205063.2015.1111718](https://doi.org/10.1080/09205063.2015.1111718)
127. Mir SH, Darzi MM. Histopathological abnormalities of prolonged alloxan-induced diabetes mellitus in rabbits. *International Journal of Experimental Pathology* 2009;90:66-73. doi: [10.1111/j.1365-2613.2008.00615.x](https://doi.org/10.1111/j.1365-2613.2008.00615.x)
128. Devi MS, Das U. Effect of prostaglandins against alloxan-induced diabetes mellitus. *Prostaglandins, Leukotrienes and Essential Fatty Acids* 2006;74:39-60. doi: [10.1016/j.plefa.2005.09.003](https://doi.org/10.1016/j.plefa.2005.09.003)
129. Gimeno E, Quera V, Beltran FS, Dolado R. Differences in shoaling behavior in two species of freshwater fish (*Danio rerio* and *Hypessobrycon herbertaxelrodi*). *Journal of Comparative Psychology* 2016;130:358. doi: [10.1037/com0000041](https://doi.org/10.1037/com0000041)
130. Connaughton VP, Baker C, Fonse L, Gerardi E, Slack C. Alternate immersion in an external glucose solution differentially affects blood sugar values in older versus younger zebrafish adults. *Zebrafish* 2016;13:87-94. doi: [10.1089/zeb.2015.1155](https://doi.org/10.1089/zeb.2015.1155)
131. Olsen AS, Sarras Jr MP, Intine RV. Limb regeneration is impaired in an adult zebrafish model of diabetes mellitus. *Wound Repair and Regeneration* 2010;18:532-42. doi: [10.1111/j.1524-475X.2010.00613.x](https://doi.org/10.1111/j.1524-475X.2010.00613.x)
132. Seth A, Stemple DL, Barroso I. The emerging use of zebrafish to model metabolic disease. *Disease Models & Mechanisms* 2013;6:1080-8. doi: [10.1242/dmm.011346](https://doi.org/10.1242/dmm.011346)
133. Jörgens K, Stoll SJ, Pohl J, Fleming TH, Sticht C, Nawroth PP, et al. High tissue glucose alters intersomitic blood vessels in zebrafish via methylglyoxal targeting the VEGF receptor signaling cascade. *Diabetes* 2015;64:213-25. doi: [10.2337/db14-0352](https://doi.org/10.2337/db14-0352)

134. Sharma KR, Heckler K, Stoll SJ, Hillebrands J-L, Kynast K, Herpel E, et al. ELMO1 protects renal structure and ultrafiltration in kidney development and under diabetic conditions. *Scientific reports*. 2016;6:1-14. doi: [10.1038/srep37172](https://doi.org/10.1038/srep37172)
135. Moulton JD. Using morpholinos to control gene expression. *Curr Protoc Mol Biol* 2008;68:4.30. 1-429. doi: [10.1002/0471142727.mb2608s83](https://doi.org/10.1002/0471142727.mb2608s83)
136. Eames SC, Philipson LH, Prince VE, Kinkel MD. Blood sugar measurement in zebrafish reveals dynamics of glucose homeostasis. *Zebrafish* 2010;7:205-13. doi: [10.1089/zeb.2009.0640](https://doi.org/10.1089/zeb.2009.0640)
137. Kim HJ, Schleiffarth JR, Jessurun J, Sumanas S, Petryk A, Lin S, et al. Wnt5 signaling in vertebrate pancreas development. *BMC Biology* 2005;3:1-21. doi: [10.1186/1741-7007-3-23](https://doi.org/10.1186/1741-7007-3-23)
138. Wang X, Yang X-l, Liu K-c, Sheng W-l, Xia Q, Wang R-c, et al. Effects of streptozotocin on pancreatic islet  $\beta$ -cell apoptosis and glucose metabolism in zebrafish larvae. *Fish Physiology and Biochemistry* 2020;46:1025-38. doi: [10.1007/s10695-020-00769-w](https://doi.org/10.1007/s10695-020-00769-w)



## Induced Animal Models of Type 1 Diabetes in Rodent: A Review Study

Alireza Lotfi (Ph.D. Student)<sup>1</sup>, Mozafar Khazaei (Ph.D.)<sup>2\*</sup>

1- Students Research Committee, Kermanshah University of Medical Sciences, Kermanshah, Iran.

2- Fertility and Infertility Research Center, Health Technology Institute, Kermanshah University of Medical Sciences, Kermanshah, Iran.

Received: 7 July 2021, Accepted: 15 September 2021

### Abstract:

**Introduction:** Diabetes is a chronic metabolic disease with high prevalence characterized by hyperglycemia due to relative deficiency or lack of insulin. Type 1 diabetes (destruction of Beta cells) and type 2 diabetes (insulin resistance) are the two main types of diabetes. Animal models of diabetes, as an important tool in the study of this disease, help to avoid human challenging immoral and costly studies. Therefore, the present review study aimed to investigate animal models of induced and spontaneous type 1 diabetes in rodents.

**Methods:** In this systematic review, the keywords of "diabetes", "induction", and "animal model" from 1991 to 2021 were searched in PubMed, Scopus, and Google scholar databases. Articles related to the subject of study were selected and reviewed.

**Results:** From the half of the twentieth century until today, new models have been introduced for prevention and treatment of diabetes in vivo and in vitro. There are various models for inducing type 1 diabetes, each of which has its strengths and weaknesses. These models include spontaneous models, genetically engineered, and chemically induced models. Typically, one way to induce diabetes in animals is to use chemicals, especially streptozotocin (STZ). Animals used include rats, mice, cats, dogs, pigs, and primates.

**Conclusion:** Based on the results of the study, there is still no standard animal model that can accurately detect the disease, and there is a long way to arrive at a comprehensive model of the pathogenesis and complications of the disease. Therefore, it is necessary to consider the development of these models. Given the importance of diabetes studies, it is necessary to carefully select the appropriate animal model for each study.

**Keywords:** Diabetes, Streptozotocin, Alloxan, Animal model.

Conflict of Interest: No

\*Corresponding author: M. Khazaei, Email: mkhazaei1345@yahoo.com

**Citation:** Lotfi A, Khazaei M. Induced animal models of type 1 diabetes in rodent: a review study. Journal of Knowledge & Health in Basic Medical Sciences 2021;16(3):28-48.